

Experiment ATLAS v CERN

Komplexní soustava (sub)detektorů
univerzálního zaměření
na urychlovači LHC

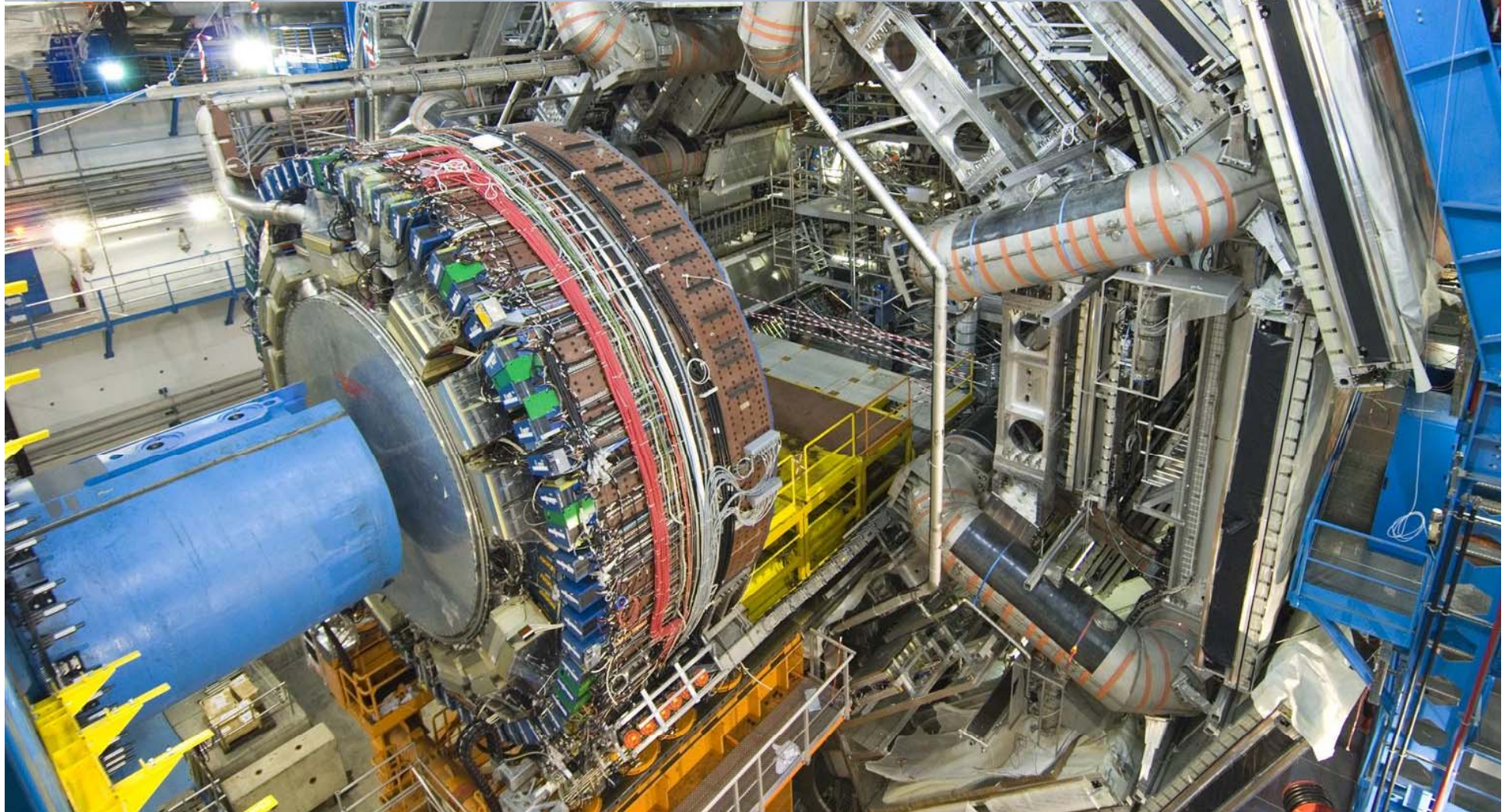
Úvod

- Co, Kde, Kdy
- Fyzikální motivace (Proč)
 - Standardní model je neúplný
 - Narušení elektroslabé symetrie
 - Existují další kvarky? Mají kvarky strukturu?
- www-ucjf.troja.mff.cuni.cz/dolejsi/textbook/LHC_CZ.ppt

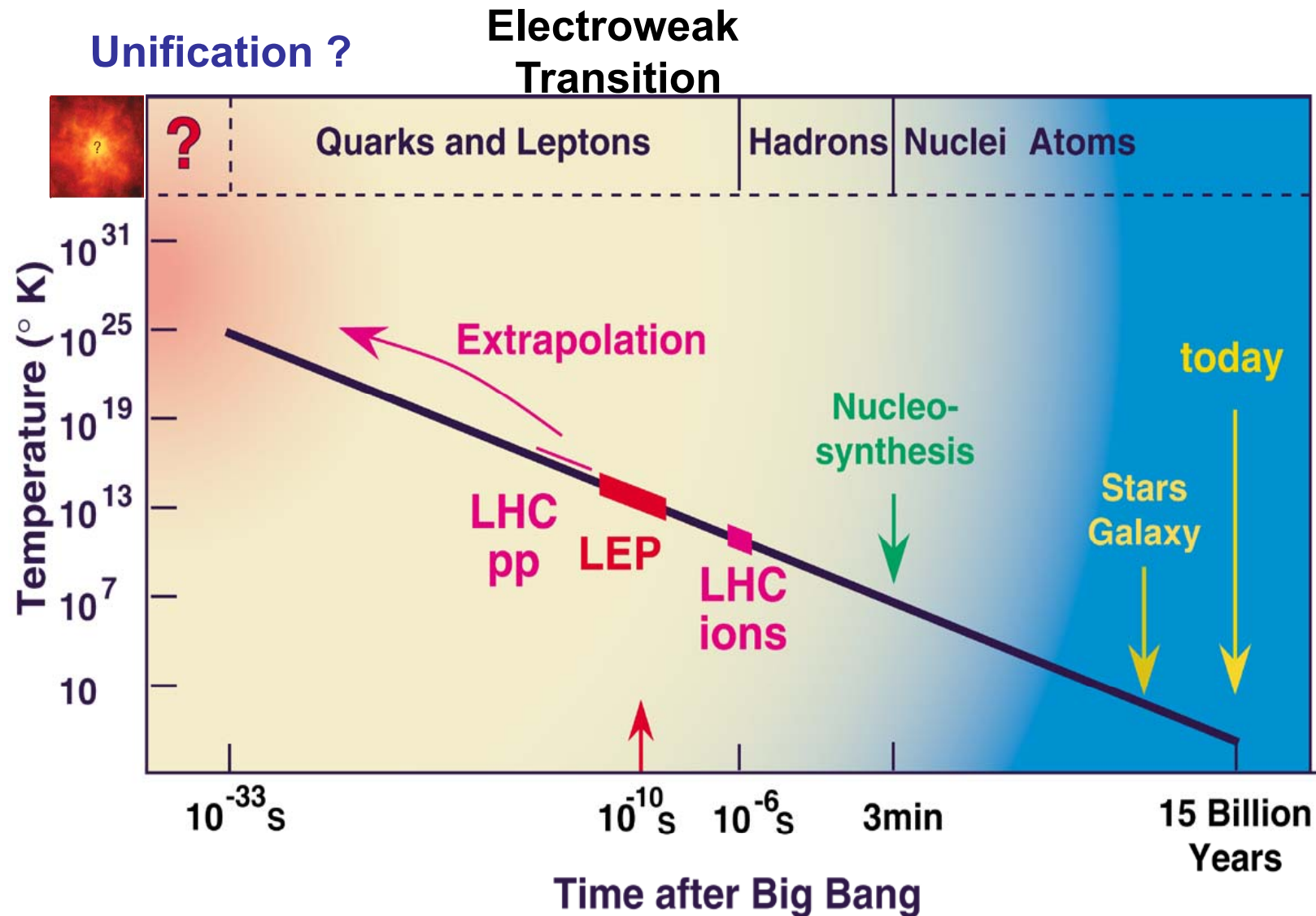


THE ATLAS EXPERIMENT

Mapping the Secrets of the Universe



Understanding the Universe ...



Experiment ATLAS v CERN

- A Toroidal LHC ApparatuS (= ATLAS)
- Large Hadron Collider (= LHC)
- Conseil Européenne pour la Recherche Nucléaire (= CERN)
 - (1954: Conseil \longrightarrow Organisation)
 - Dnes: Evropská Laboratoř Částicové Fyziky

Large Hadron Collider

Lake of Geneva

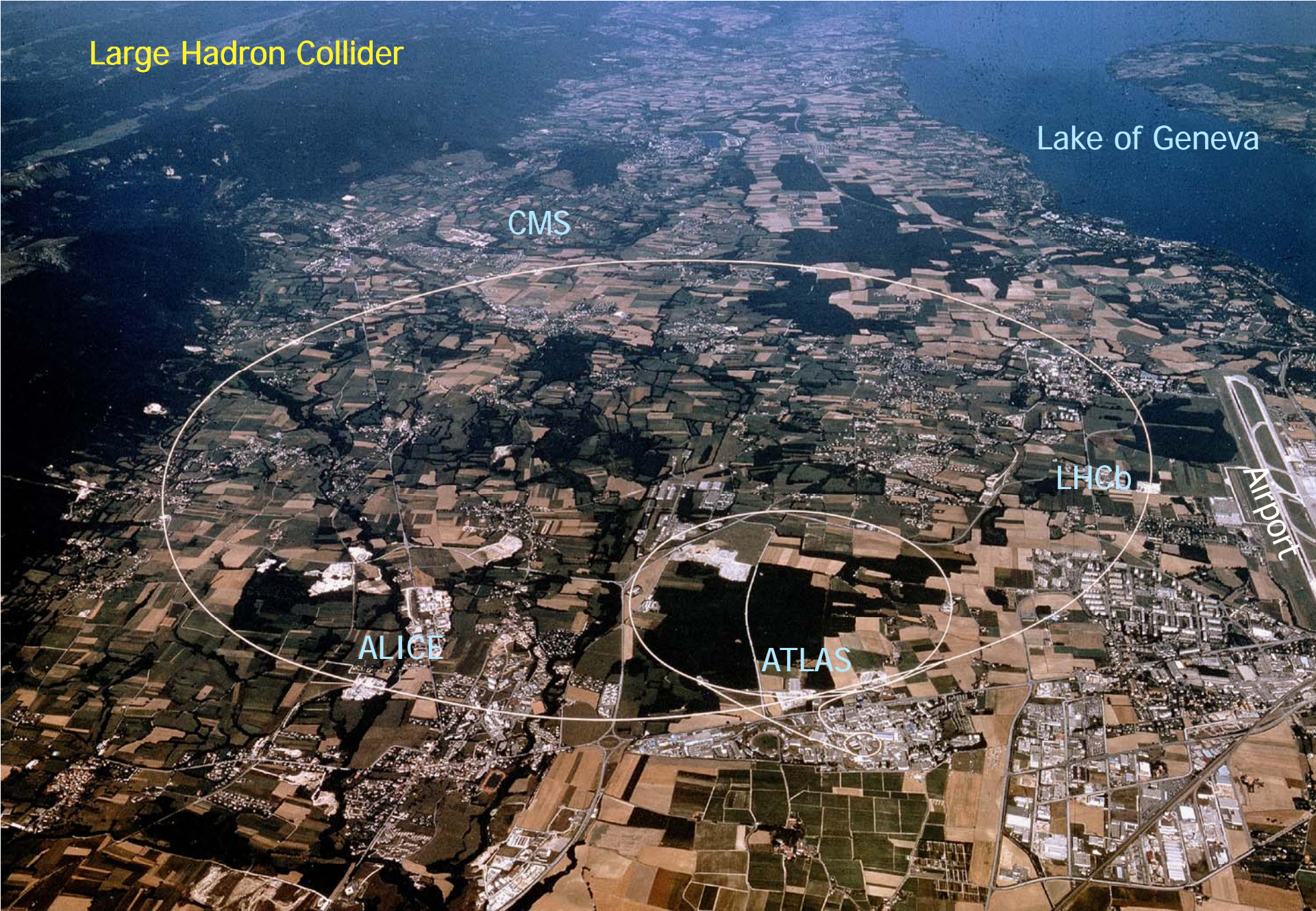
CMS

LHCb

Airport

ALICE

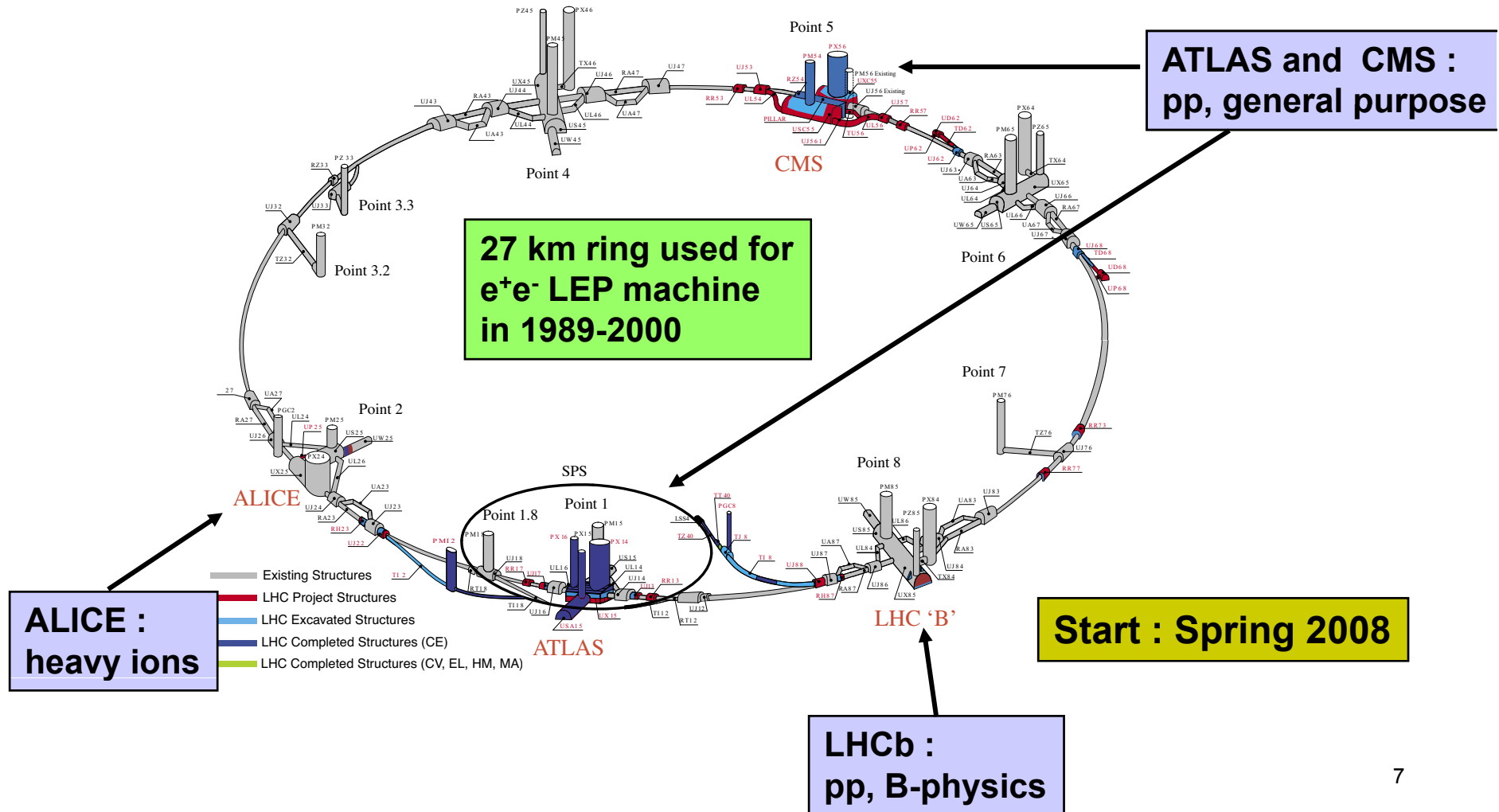
ATLAS



LHC

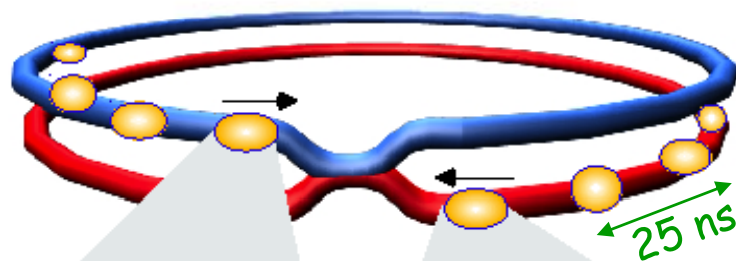
pp

- $\sqrt{s} = 14 \text{ TeV}$ (7 krát víc, než dosud existující TEVATRON)
 → hledání nových těžkých částic až do hmoty $m \sim 5 \text{ TeV}$
- $L_{\text{design}} = 10^{34} \text{ cm}^{-2} \text{ s}^{-1}$ (~ 100 krát víc než na Tevatronu)
 → hledání vzácných procesů malé σ ($N = L\sigma$)



V LHC se sráží protony

Bunch = Metro vlak



Proton-Proton

Protons/bunch 10^{11}

Beam energy 7 TeV (7×10^{12} eV)

Luminosity 10^{34} cm⁻² s⁻¹

10^{11}

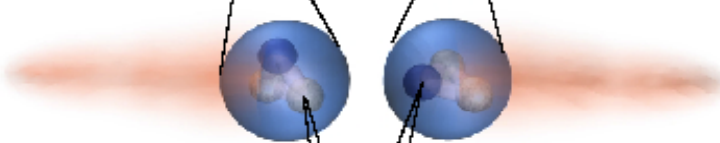
7 TeV (7×10^{12} eV)

10^{34} cm⁻² s⁻¹

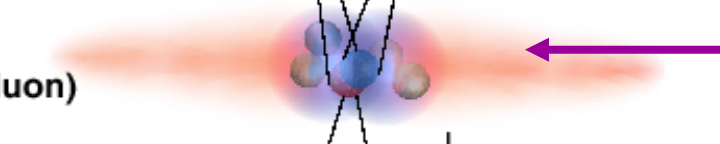
Bunch



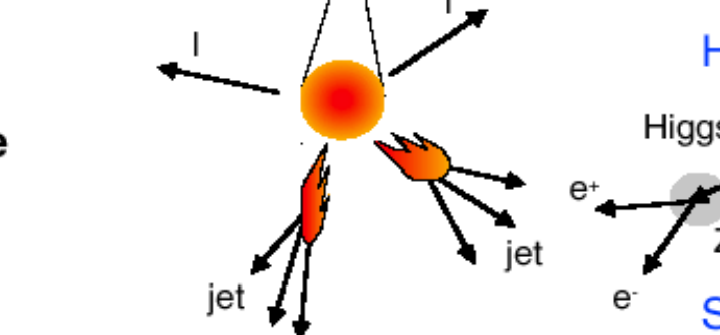
Proton



Parton
(quark, gluon)



Particle

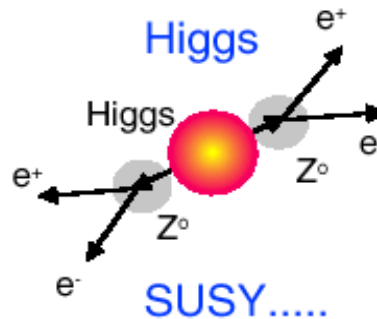


23 interakcí při každé srážce „vlaků“ :

$$N = L \times \sigma (pp) \approx 10^9 \text{ interakcí/s}$$

Převážně „měkké“ (low p_T) případy

Zajímavé „tvrdé“ (high- p_T) případy jsou vzácné



**Selection of 1 in
10,000,000,000,000**

→ Potřeba velmi sofistikovaného detektoru

Hlavní cíle pp fyziky na LHC

Hledání chybějícího članku Standardního Modelu (SM) = **Higgsova bosonu**
v oblasti hmot $\sim 115 < m_H < 1000 \text{ GeV}$

Hledání **Fyziky za SM** (Supersymmetry, q/ℓ compositeness, leptoquarks, W'/Z' ,
heavy q/ℓ , Extra-dimensions,) až do **TeV-ové oblasti**

Přesná měření :

- **W hmoty**
- **top hmoty**, vazbových konstant a rozpadových vlastností
- Higgs hmoty, spinu, vazbových konstant (když se Higgs najde)
- **B-fyzika** (doplňk k LHCb): CP violation, rare decays, B^0 oscillations
- **QCD** účinné průřezy pro jety, α_s
- atd.

Studium **fázového přechodu na plasmu** nevázaných kvarků a gluonů při velkých hadronových hustotách (doplňk k experimentu **ALICE**).

A další

ATLAS

- Spolupracující instituce z celého světa
- Tři hlavní součásti detektoru
 - Vnitřní detektor
 - Kalorimetry
 - Mionový spektrometr s toroidálním magnetem
- Měření hybnosti mionů

ATLAS Collaboration

(Status October 2008)

37 Countries
169 Institutions
2800 Scientific participants total
(1850 with a PhD, for M&O share)

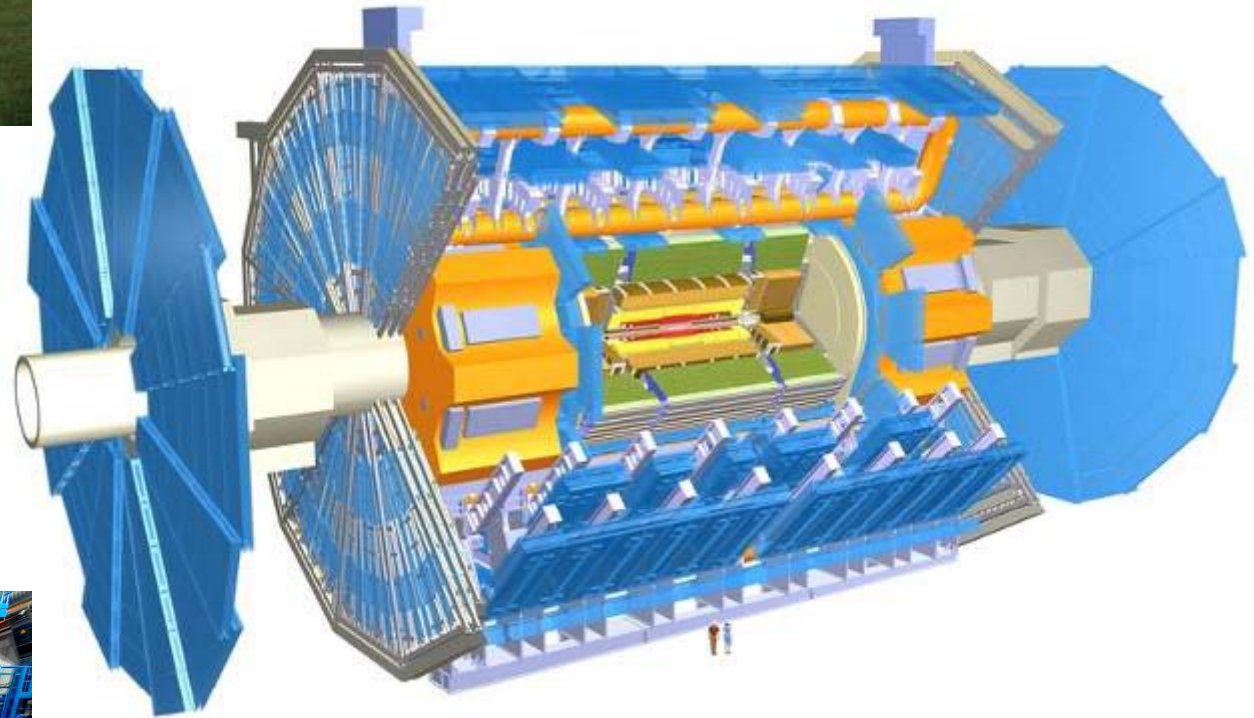


Albany, Alberta, NIKHEF Amsterdam, Ankara, LAPP Anecy, Argonne NL, Arizona, UT Arlington, Athens, NTU Athens, Baku, IFAE Barcelona, Belgrade, Bergen, Berkeley LBL and UC, HU Berlin, Bern, Birmingham, UAN Bogota, Bologna, Bonn, Boston, Brandeis, Bratislava/SAS Kosice, Brookhaven NL, Buenos Aires, Bucharest, Cambridge, Carleton, CERN, Chinese Cluster, Chicago, Chile, Clermont-Ferrand, Columbia, NBI Copenhagen, Cosenza, AGH UST Cracow, IFJ PAN Cracow, UT Dallas, DESY, Dortmund, TU Dresden, JINR Dubna, Duke, Frascati, Freiburg, Geneva, Genoa, Giessen, Glasgow, Göttingen, LPSC Grenoble, Technion Haifa, Hampton, Harvard, Heidelberg, Hiroshima, Hiroshima IT, Indiana, Innsbruck, Iowa SU, Irvine UC, Istanbul Bogazici, KEK, Kobe, Kyoto, Kyoto UE, Lancaster, UN La Plata, Lecce, Lisbon LIP, Liverpool, Ljubljana, QMW London, RHBNC London, UC London, Lund, UA Madrid, Mainz, Manchester, CPPM Marseille, Massachusetts, MIT, Melbourne, Michigan, Michigan SU, Milano, Minsk NAS, Minsk NCPHEP, Montreal, McGill Montreal, RUPHE Morocco, FIAN Moscow, ITEP Moscow, MEPHI Moscow, MSU Moscow, Munich LMU, MPI Munich, Nagasaki IAS, Nagoya, Naples, New Mexico, New York, Nijmegen, BINP Novosibirsk, Ohio SU, Okayama, Oklahoma, Oklahoma SU, **Olomouc**, Oregon, LAL Orsay, Osaka, Oslo, Oxford, Paris VI and VII, Pavia, Pennsylvania, Pisa, Pittsburgh, **CAS Prague, CU Prague, TU Prague**, IHEP Protvino, Regina, Ritsumeikan, UFRJ Rio de Janeiro, Rome I, Rome II, Rome III, Rutherford Appleton Laboratory, DAPNIA Saclay, Santa Cruz UC, Sheffield, Shinshu, Siegen, Simon Fraser Burnaby, SLAC, Southern Methodist Dallas, NPI Petersburg, Stockholm, KTH Stockholm, Stony Brook, Sydney, AS Taipei, Tbilisi, Tel Aviv, Thessaloniki, Tokyo ICEPP, Tokyo MU, Toronto, TRIUMF, Tsukuba, Tufts, Udine/ICTP, Uppsala, Urbana UI, Valencia, UBC Vancouver, Victoria, Washington, Weizmann Rehovot, FH Wiener Neustadt, Wisconsin, Wuppertal, Würzburg, Yale, Yerevan

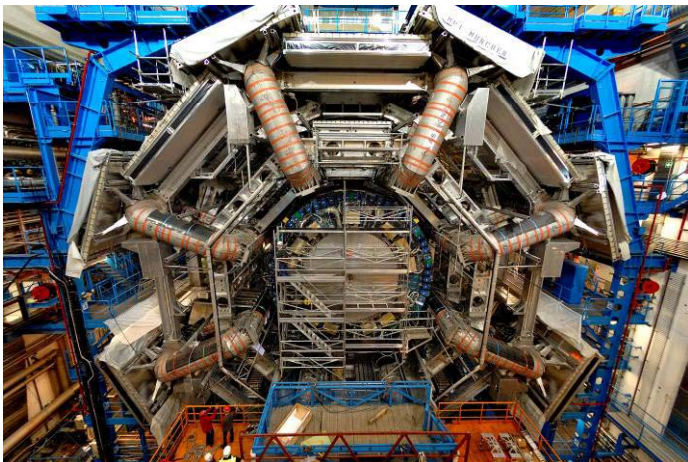
ATLAS v číslech a představách



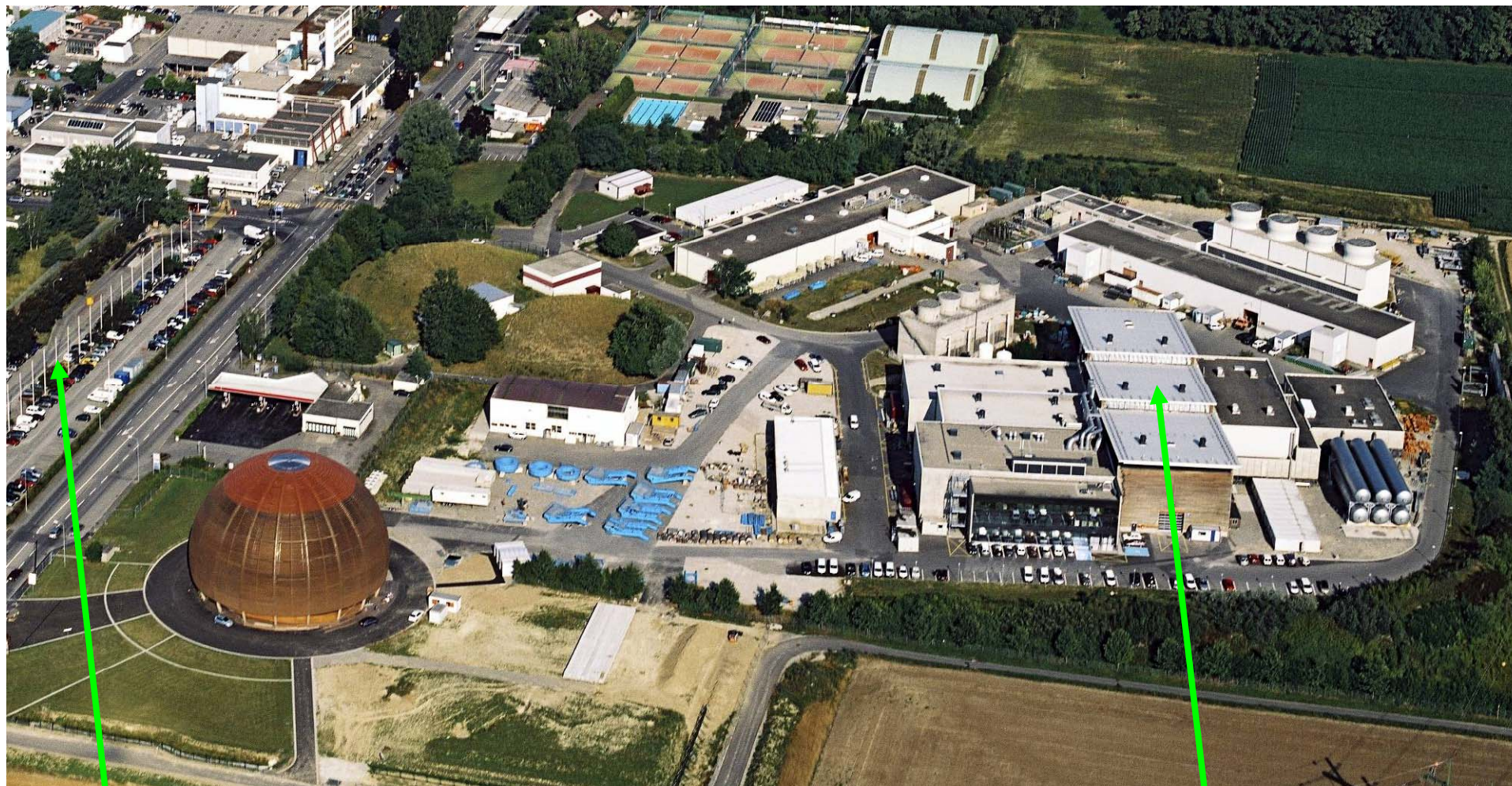
ATLAS vestavěný do budovy 40



<i>Průměr</i>	<i>25 m</i>
<i>Délka toroidálního magnetu</i>	<i>26 m</i>
<i>Vzdálenost krajních mionových komor</i>	<i>46 m</i>
<i>Celková váha</i>	<i>7000 tun</i>

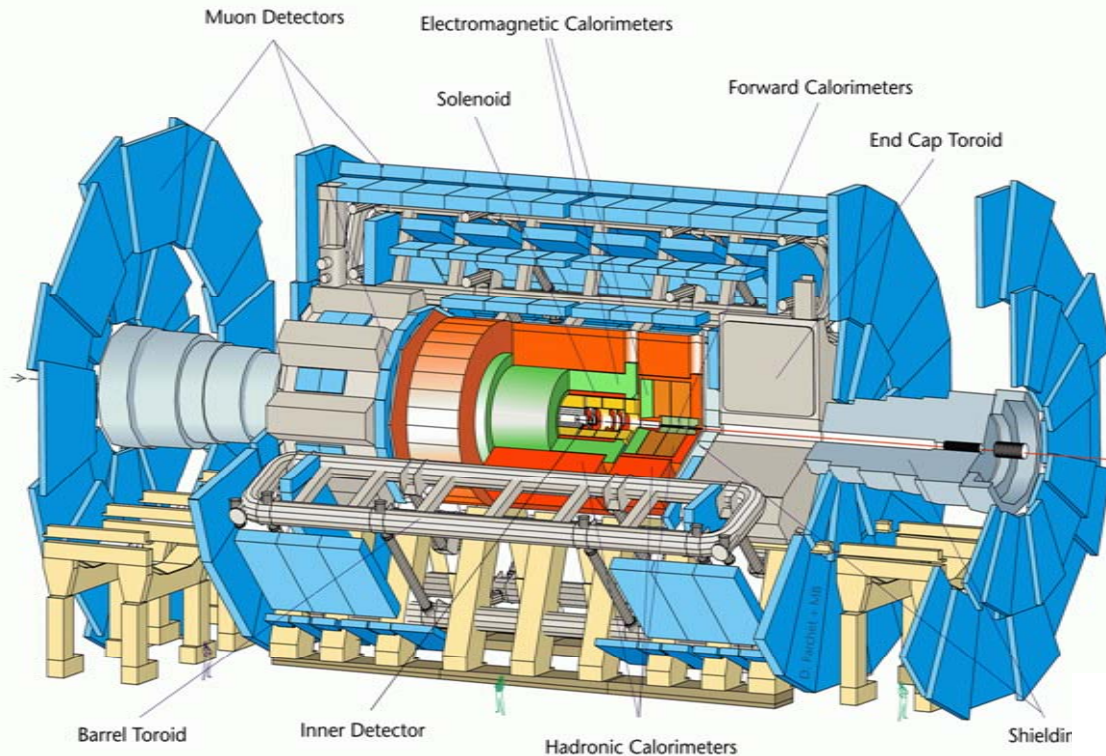


Letecký pohled na areál ATLASu (PIT_1)



**Vlajky;
Parkoviště dnes uzavřené
kvůli výstavbě tramvaje**

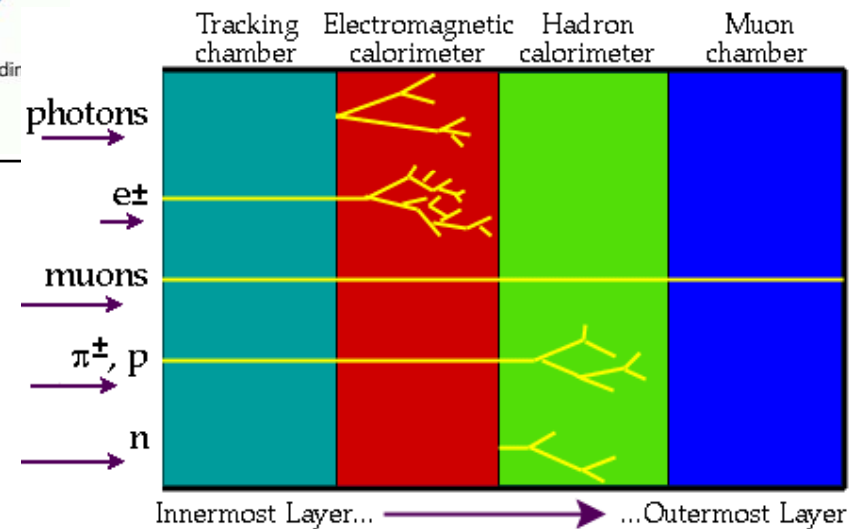
Budova přímo nad podzemní jeskyní



[: hermetičnost =
Válec+Disk struktura :]

ATLAS

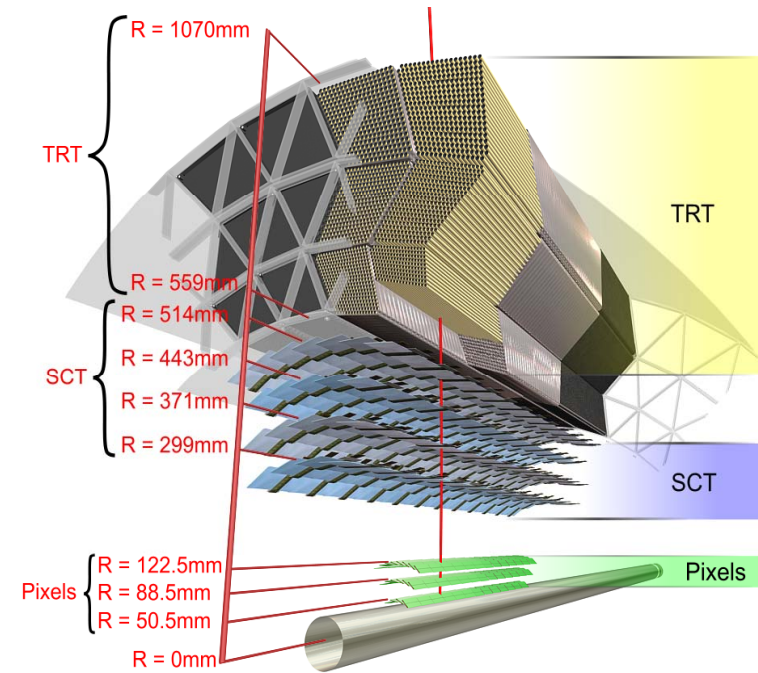
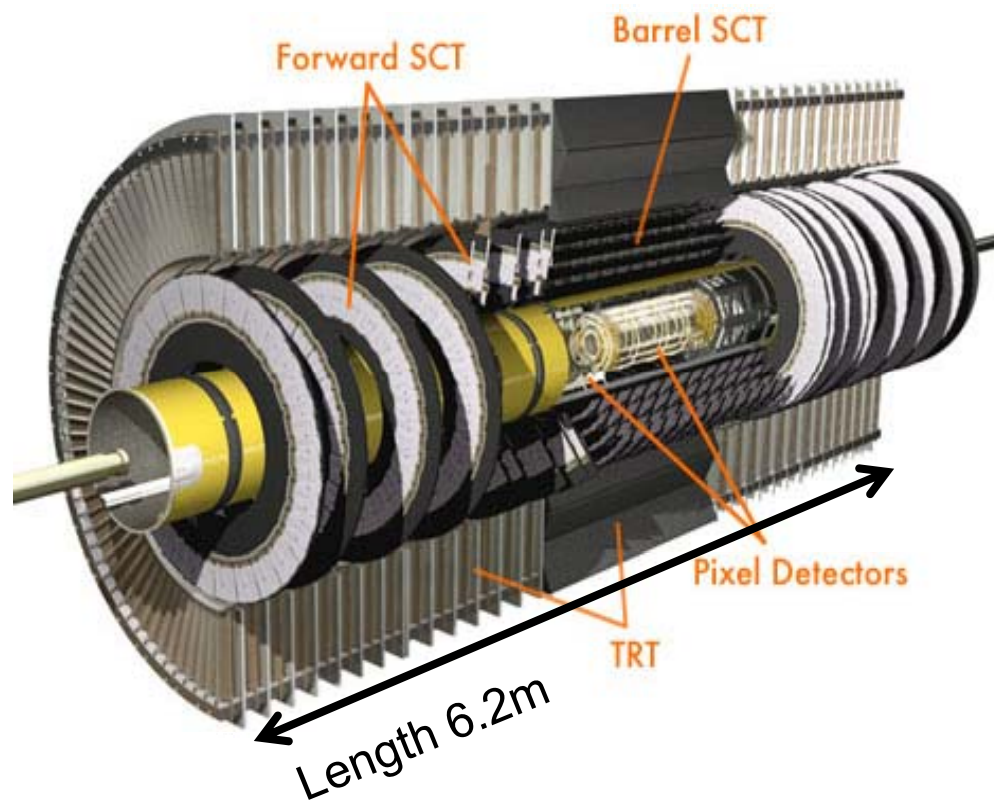
- **Tracking ($|\eta| < 2.5$, $B=2T$) :**
 - Si pixels and strips
 - Transition Radiation Detector (e/π separation)
- **Calorimetry ($|\eta| < 5$) :**
 - EM : Pb-LAr
 - HAD: Fe/scintillator (central), Cu/W-LAr (fwd)
- **Muon Spectrometer ($|\eta| < 2.7$) :**
air-core toroids with muon chambers



ATLAS / ID

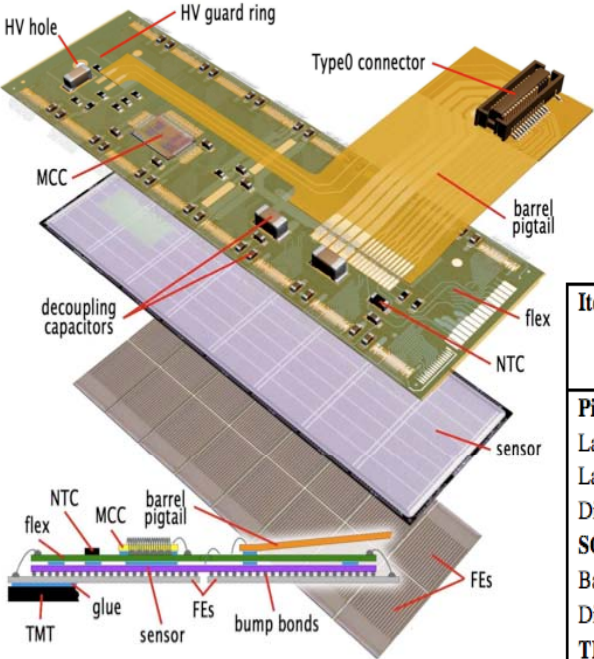
- Vnitřní detektor (ID = válec + disky)
 - 7 přesných (10um) bodů + ~30 TRT bodů pro rekonstrukci dráhy v mg.poli = hybnost částic, druhotné vrcholy; separace pionu/elektronu
- Tři součásti ID barelu
 - pixely (40x500 um) 3 válce
 - stripy (stereo 80 um) .. 4 válce
 - TRT (hodně bodů, menší přesnost, IDENTIFIKACE částic)

The Inner Detector



- během odstávky hlavně vylepšování chlazení

ID Si-sensors

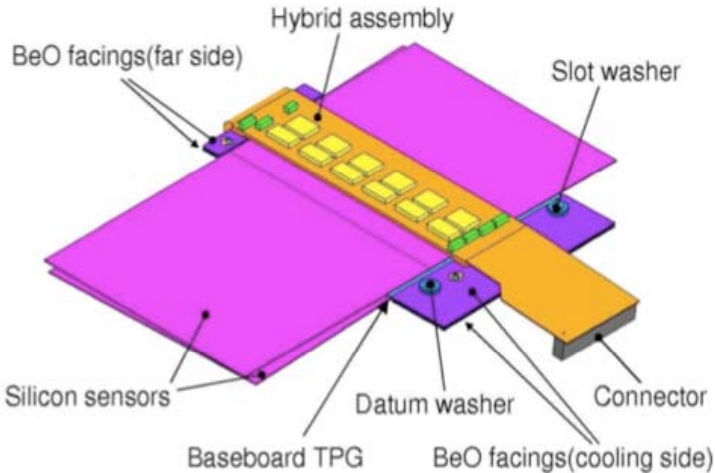
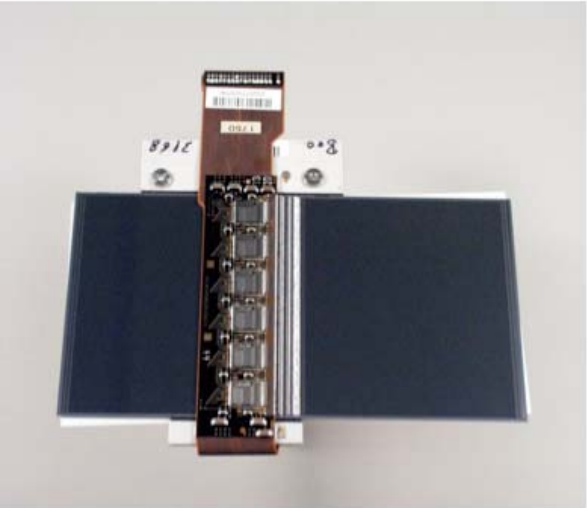
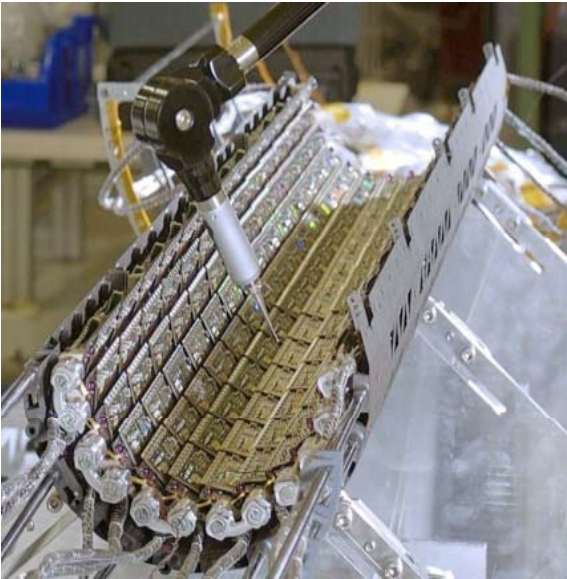


Item	Intrinsic accuracy (μm)	Alignment tolerances (μm)		
		Radial	Axial z	Azimuth $R\phi$
Pixel				
Layer 0	10 ($R\phi$) 115 (z)	10	20	7
Layers 1 and 2	10 ($R\phi$) 115 (z)	20	20	7
Disks	10 ($R\phi$) 115 (R)	20	100	7
SCT				
Barrel	17 ($R\phi$) 580 (z) ¹	100	50	12
Disks	17 ($R\phi$) 580 (R) ¹	50	200	12
TRT	130 (drift time)			30 ²

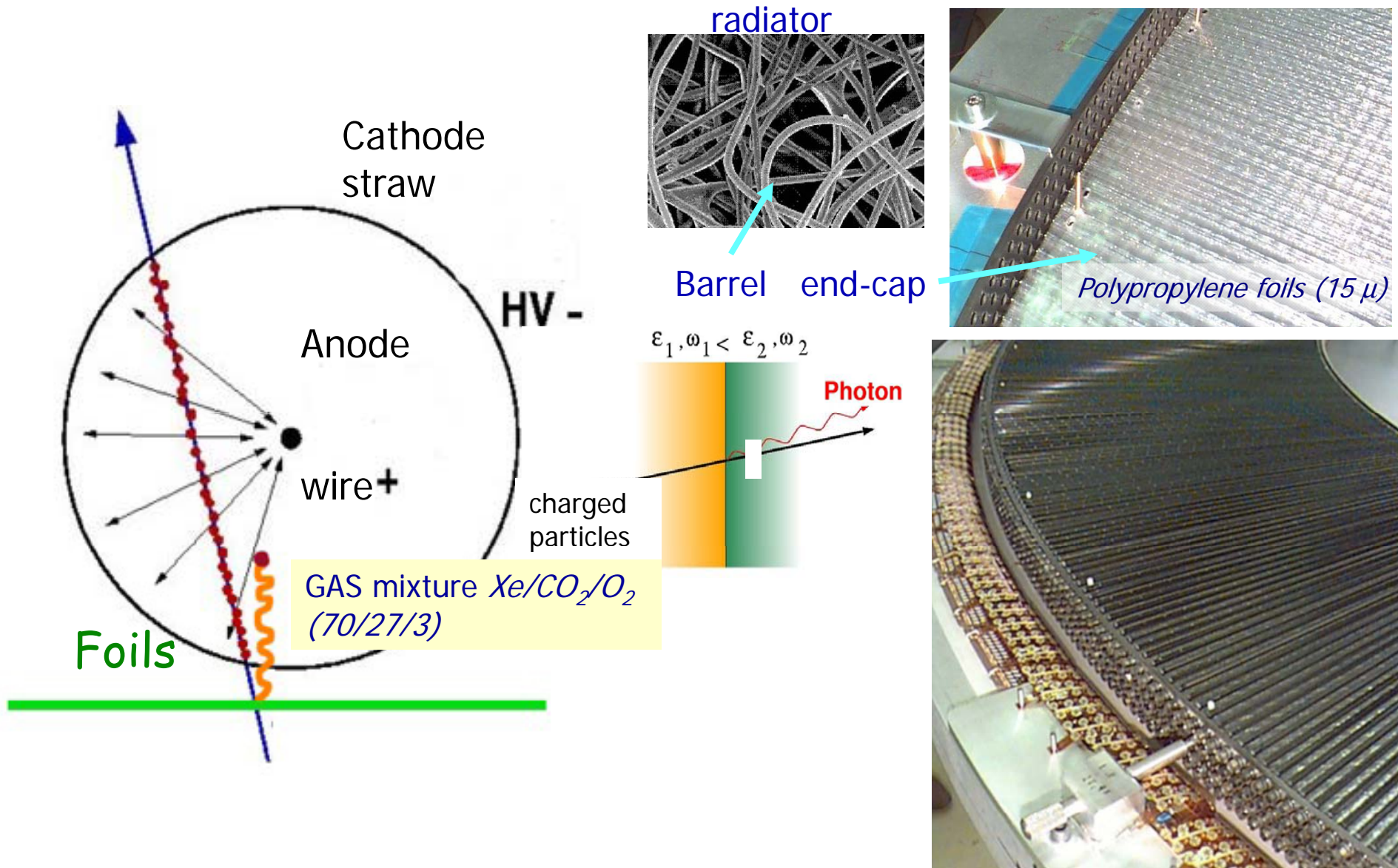


1744 modules, min $50 \times 400 \mu\text{m}^2$ 1.8m^2

4088 modules, $80 \mu\text{m}$ micro-strips 61m^2



The TRT (Transition Radiation Tracker)



The Inner Detector (ID) challenge

- *Patter recognition challenging: high track density*

- ✓ 7 precision points/track (3 pixel+4 SCT)

- ✓ Each r- ϕ and z (40 mrad stereo in SCT)

- ✓ Up to 36 TRT straw hits

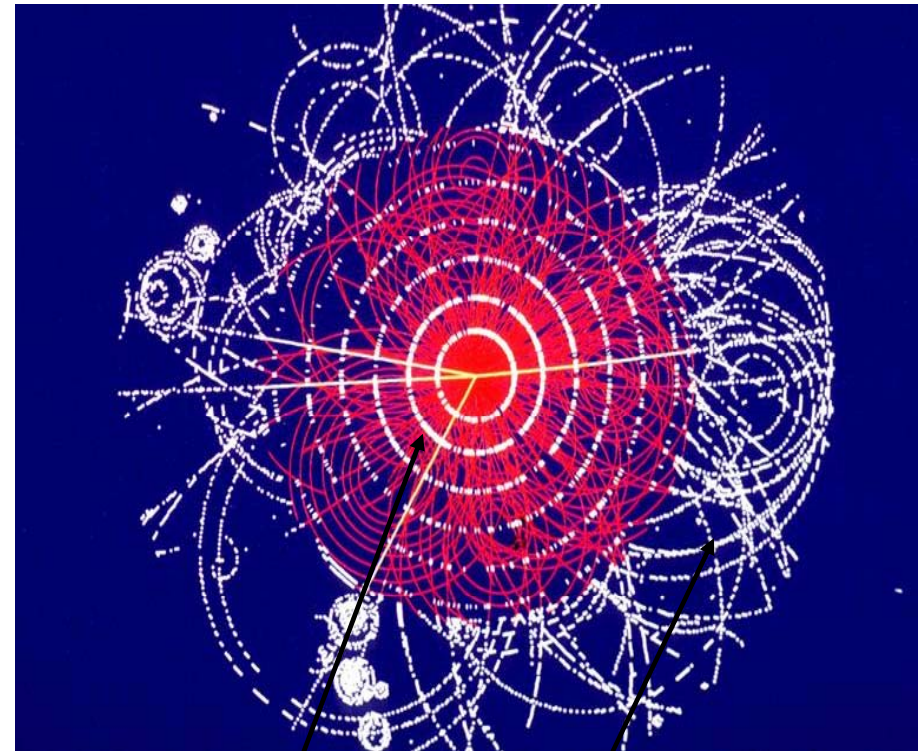
- ✓ Continuous tracking... optimised for tracking performance, not TR e-

- ✓ π rejection up to 100 for 80% e-efficiency

- Needs to operate up to an integrated dose between 10 and 60 Mrad

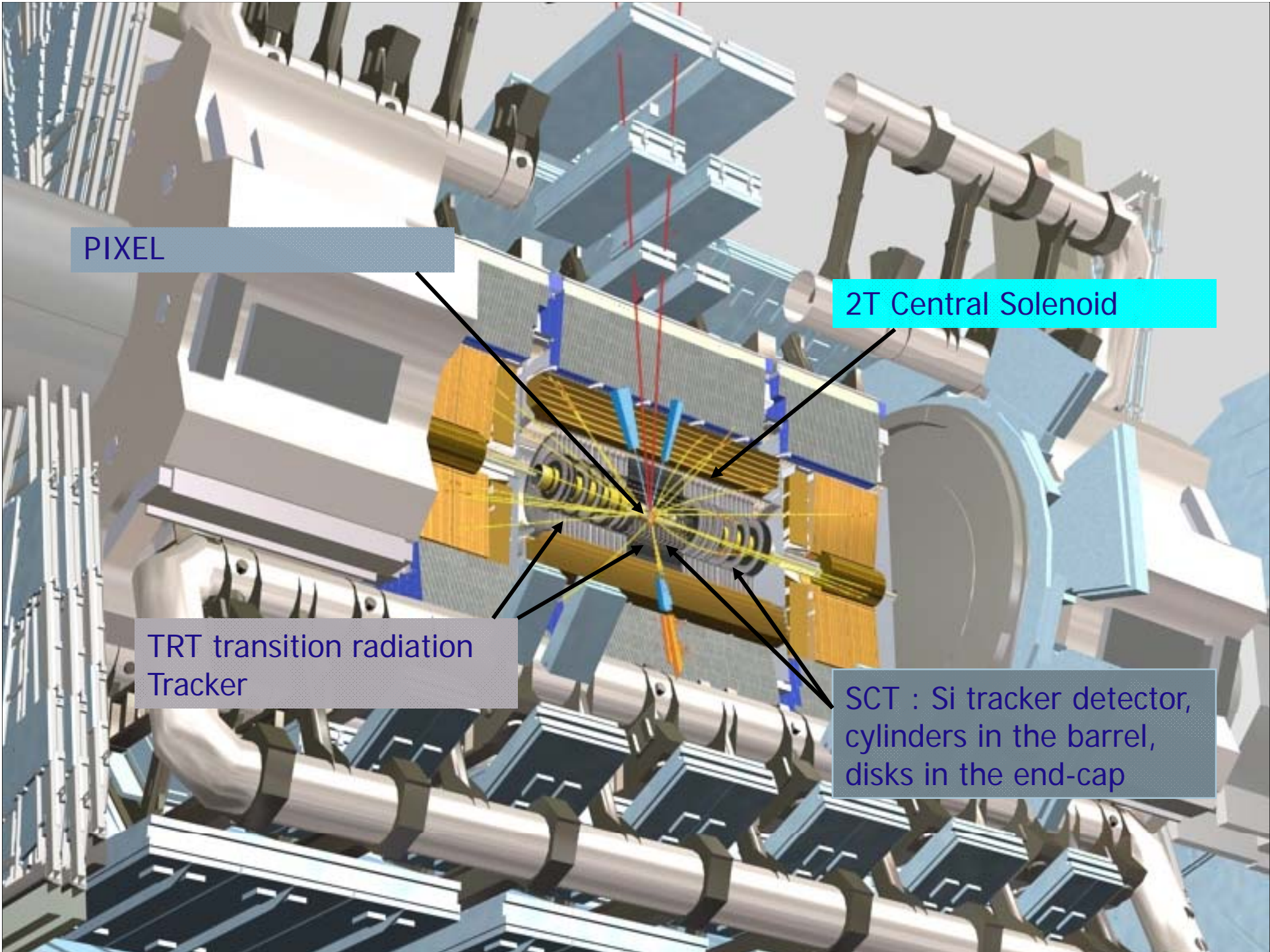
- Hermetic coverage up to $|\eta|=2.5$

- B-tagging capability



*Pixel, SCT
precision tracking*

*TRT continuous
tracking*



PIXEL

2T Central Solenoid

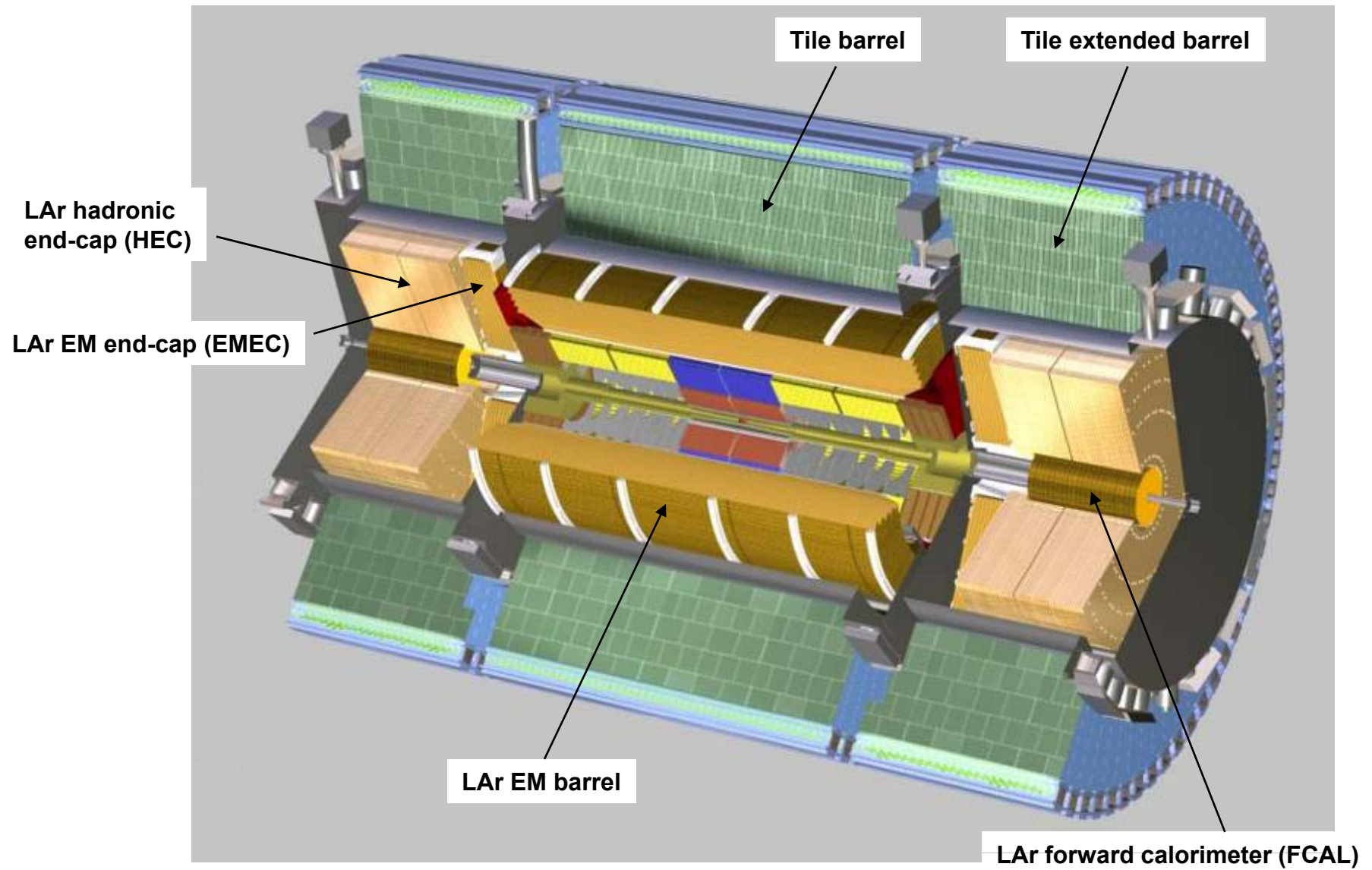
TRT transition radiation Tracker

SCT : Si tracker detector, cylinders in the barrel, disks in the end-cap

Kalorimetry v ATLASu

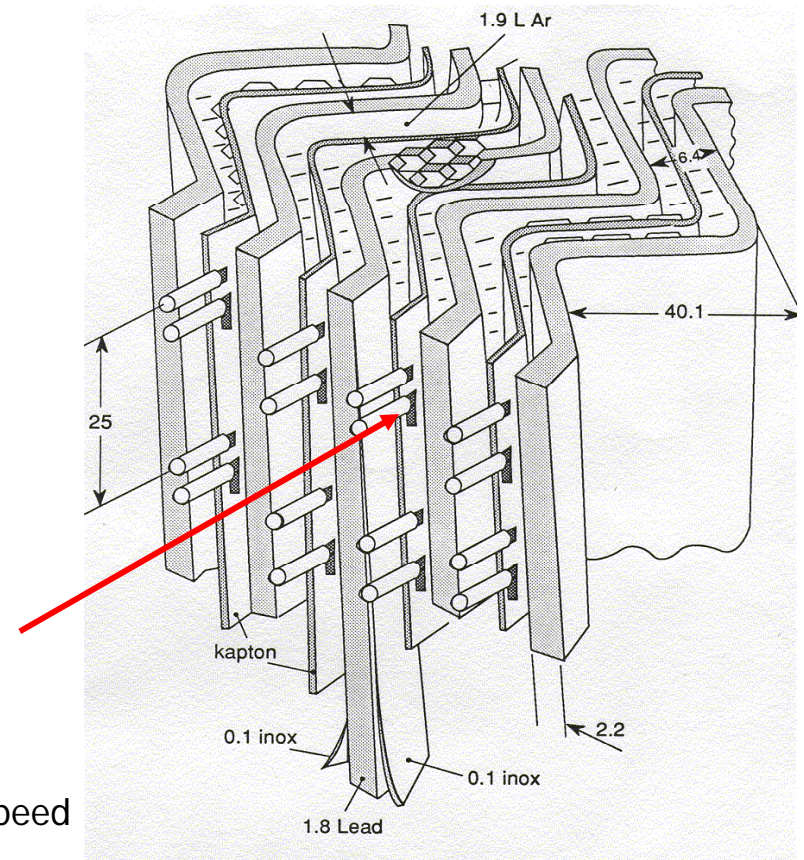
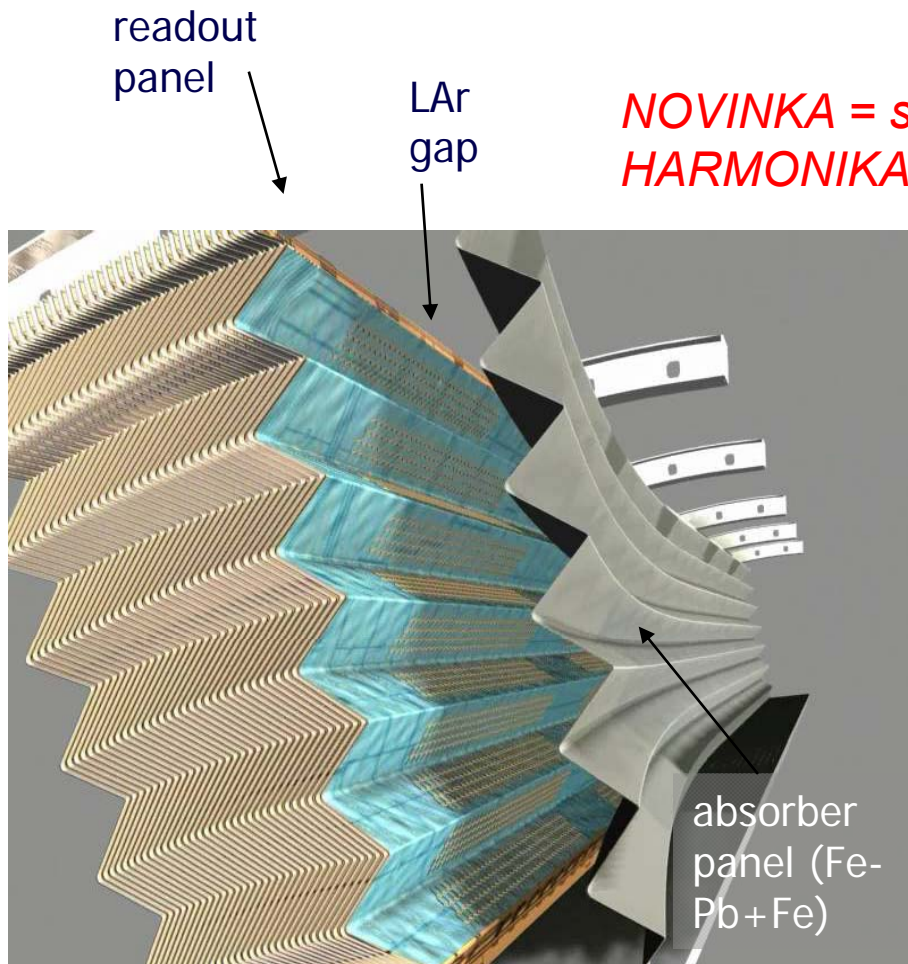
- Úkoly
 - Pohlcují všechny částice kromě mionů a neutrin
 - Měří jejich energii vzorkováním:
absorbátor = W, Pb, Cu, Fe +
aktivní část = Kapalný Argon(LArg), scintilátor
 - Rychlá informace z nich umožňuje spuštění celého ATLASu (trigger L1CALO)
 - Umožňují identifikaci e/jety/fotony, separaci neutrálního pionu/fotonu
- Dělení
 - válcový / diskový (EC) / dopředný (FCAL)
 - elektromagnetický (EM) / hadronový (H)
 - Larg (3 kryostaty) / Tile
- Průchod všech kabelů, kapalin,.. pro vnitřní detektor rozděljuje válcovou část na fixní „barrel“ a pohyblivé „extended barrels“

LAr and Tile Calorimeters



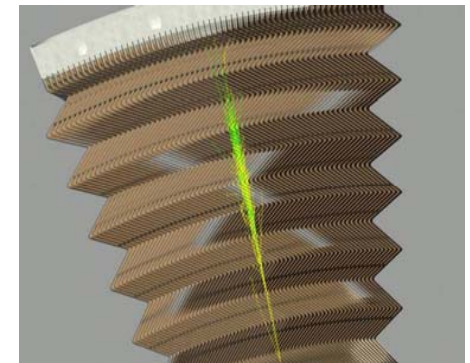
Electromagnetic Calorimeters

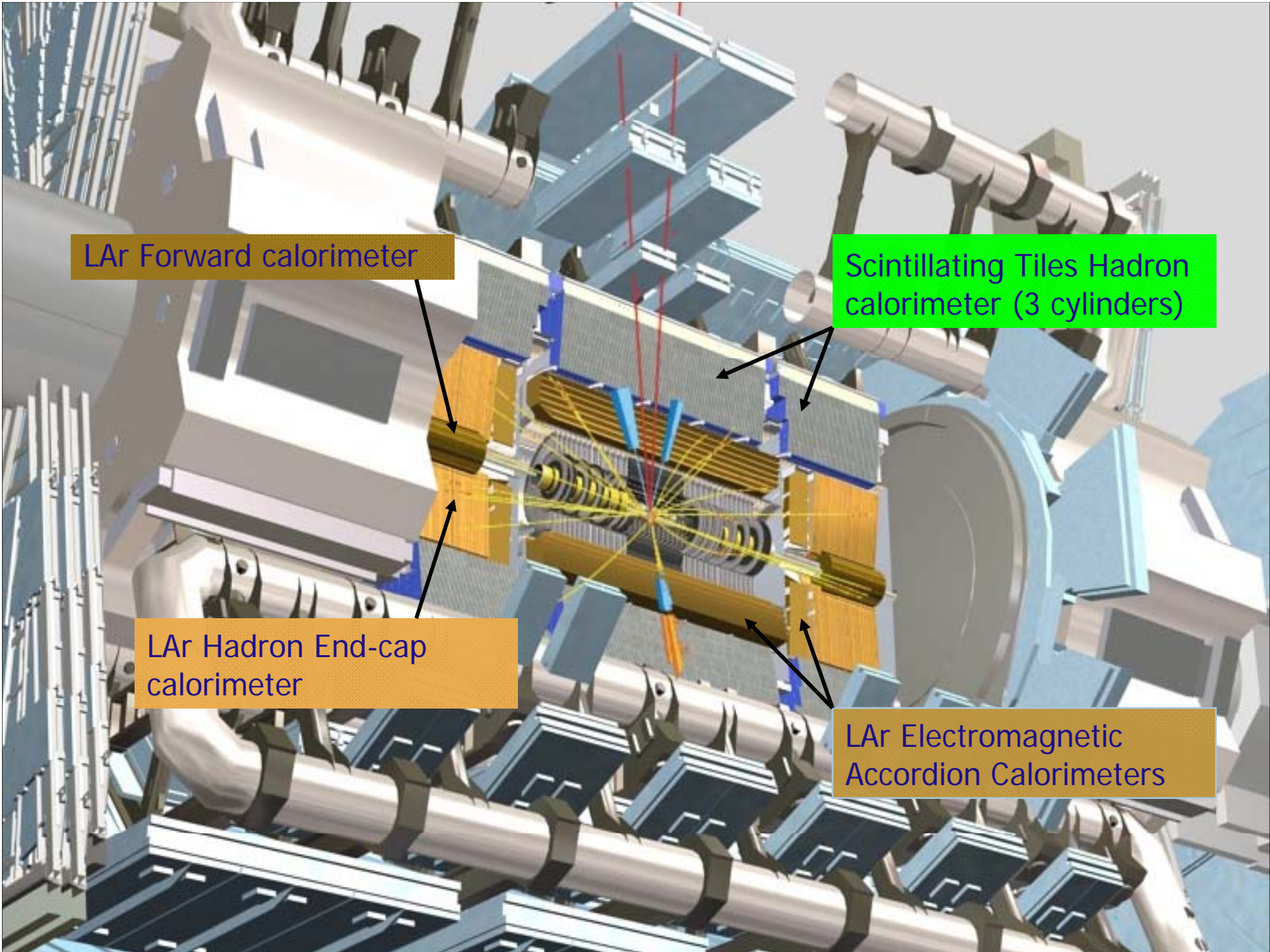
LAr sampling calorimeter
accordion geometry



Why ?

- readout speed
- radiation hard
- electronically inter-calibrated
- allows longitudinal segmentation
- hermetic in phi
- good energy, angular resolution





LAr Forward calorimeter

Scintillating Tiles Hadron calorimeter (3 cylinders)

LAr Hadron End-cap calorimeter

LAr Electromagnetic Accordion Calorimeters

Kalorimetr TileCAL

*15 years of fruitful collaboration
with our Czech friends... !*



Some 8 years ago ...

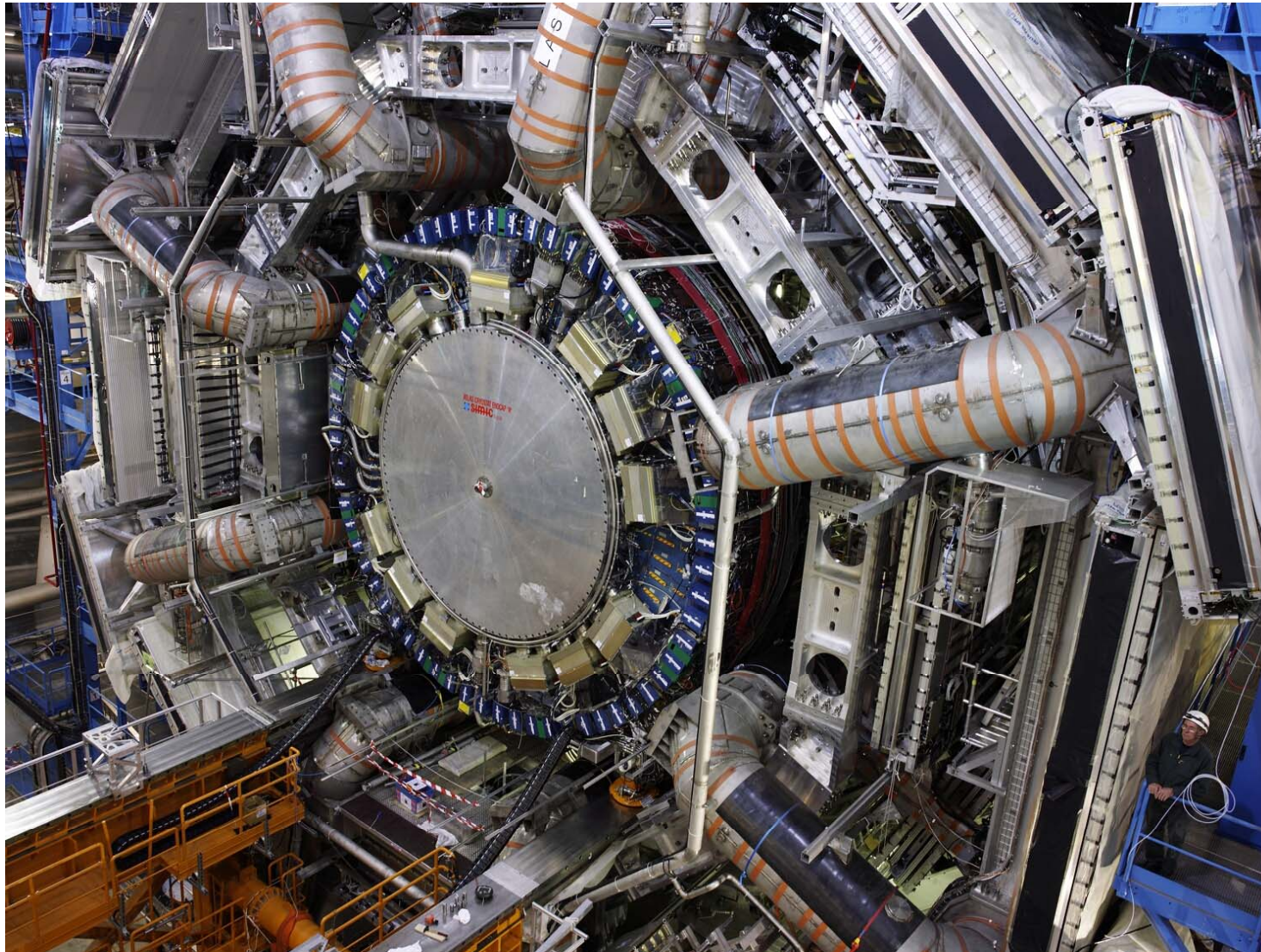


Some 7 years ago ...



Some 3 years ago ...

Kryostat s diskovými (EM+H) a dopřednými kalorimetry během zasunování



ATLAS side A (with the calorimeter end-cap partially inserted, the LAr end-cap is filled with LAr)

ATLAS / mionový spektrometr

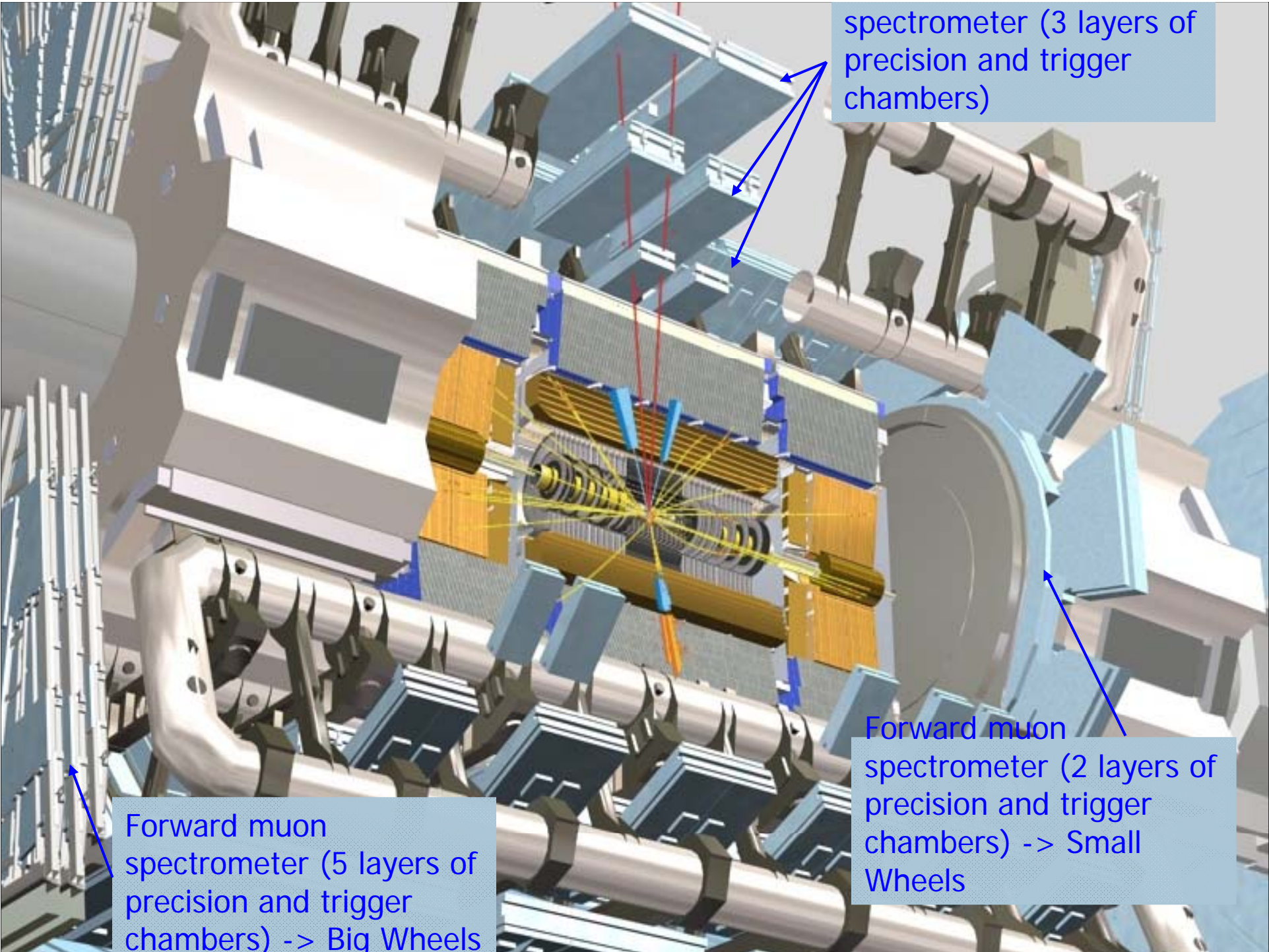
- Úkoly
 - Rychlá informace z něho umožňuje spuštění celého ATLASu (LVL1 muon trigger)
 - Měří (i samostatně) velmi přesně hybnost mionů = rekonstrukce dráhy v mg. poli
- Dělení
 - válcový =vnitřní, střední a vnější vrstva / diskový = malá a velká kola + fixní komory na zdech jeskyně
 - přesné měření souřadnice (80um) = MDT + CSC / přesné měření času (4ns) = RPC, TGC

MDT = monitorované driftové trubky

RPC = Resistive Plate Chamber

CSC = Cathode Strip Chambers

TGC = Thin Gap Chambers

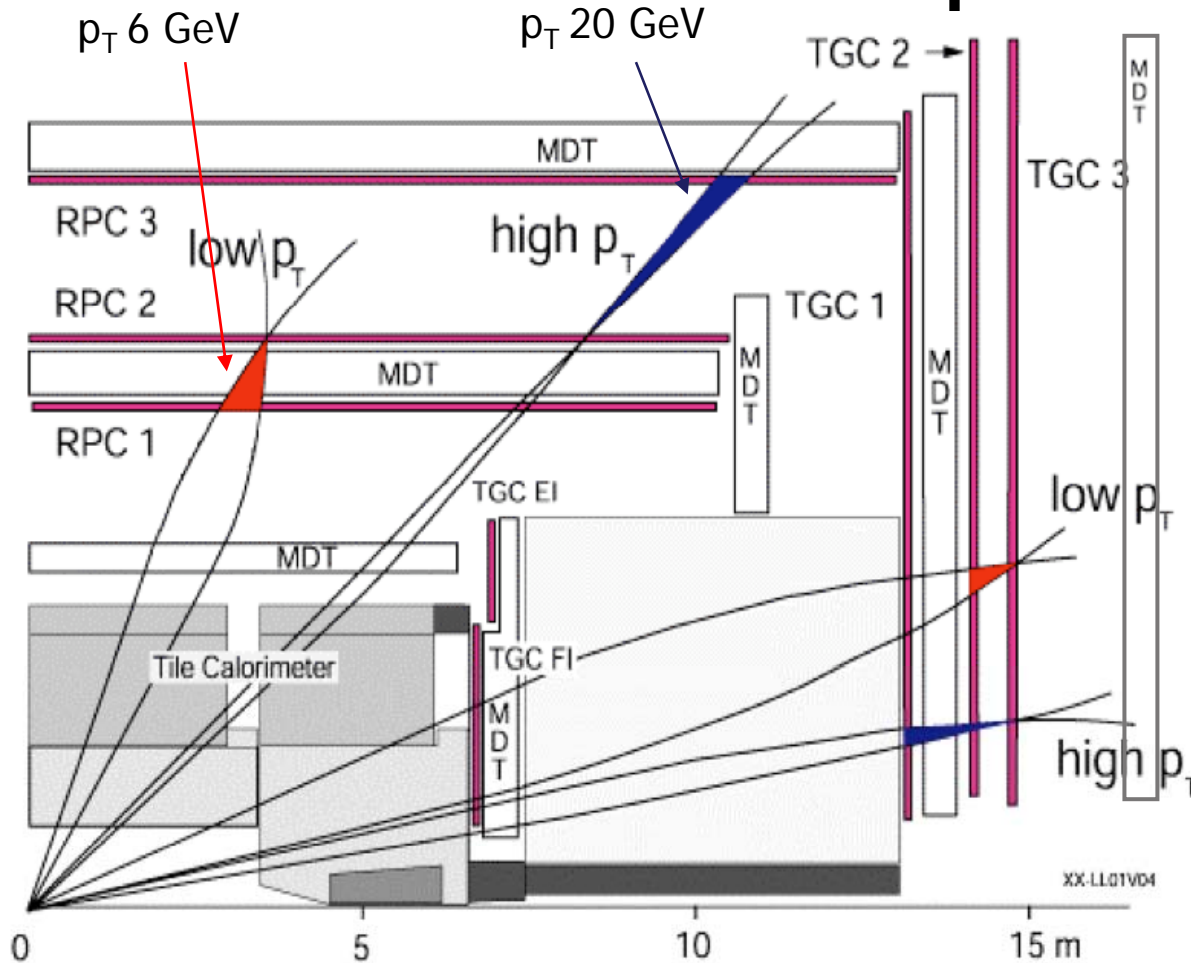


spectrometer (3 layers of precision and trigger chambers)

Forward muon spectrometer (2 layers of precision and trigger chambers) -> Small Wheels

Forward muon spectrometer (5 layers of precision and trigger chambers) -> Big Wheels

The Muon Spectrometer



Precision chambers :

MDT : monitored drift tubes

1108 chambers, 339 k channels

CSC : cathode strip chambers

32 chambers, 31 k channels

Trigger chambers (LVL1):

RPC : resistive plate chambers

560 chambers, 359 k channels

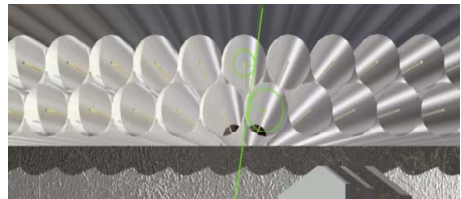
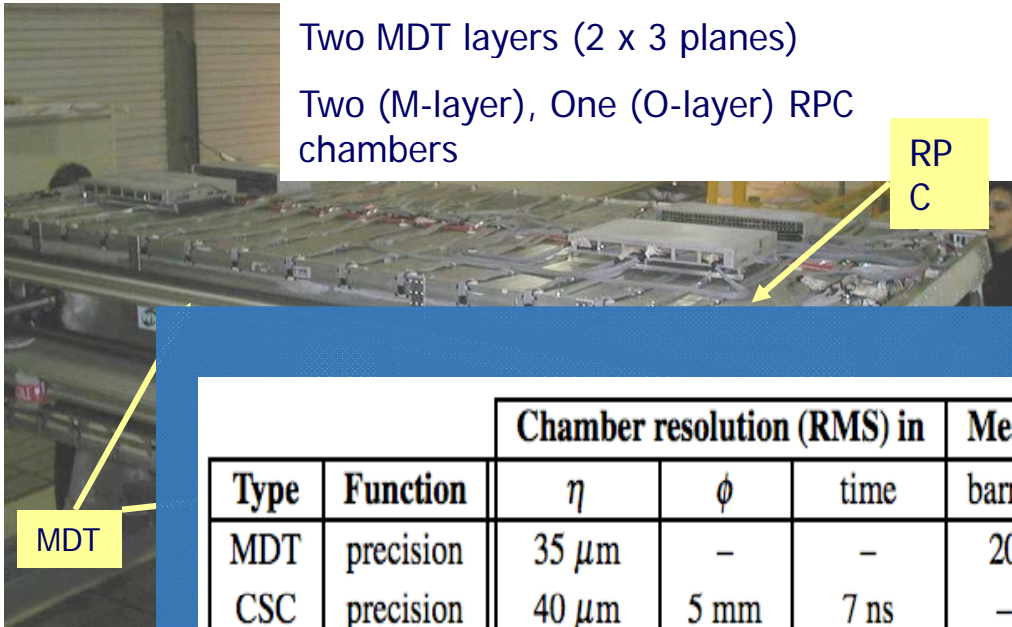
TGC : thin gap chambers

3588 chambers, 318 k channels

$\Delta p_T / p_T \sim 3\%$ for $p_T = 10-100$ GeV
in standalone mode

Total : $\sim 12'000$ m², ~ 1.1 M channels

Barrel Stations

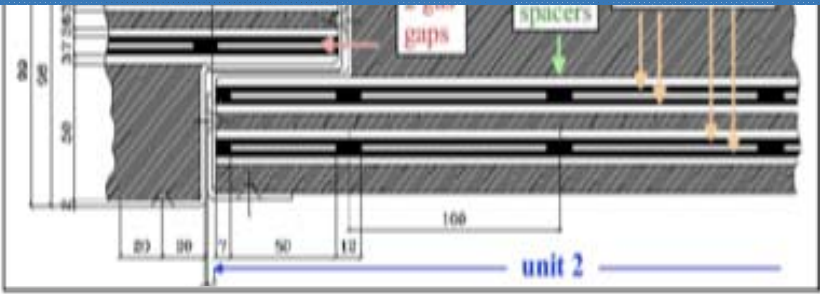


Type	Function	Chamber resolution (RMS) in			Measurements/track		Number of	
		η	ϕ	time	barrel	end-cap	chambers	channels
MDT	precision	35 μm	-	-	20	20	1108 (1172)	339k (354k)
CSC	precision	40 μm	5 mm	7 ns	-	4	32	30.7k
RPC	trigger	10 mm	10 mm	1.5 ns	6	-	560 (622)	359k (373k)
TGC	trigger	3-12 mm	8 mm	4 ns	-	9	3588	318k

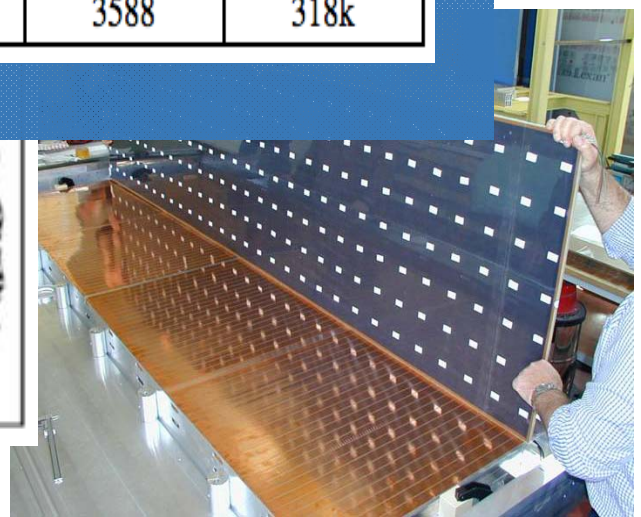
s of
ffe
0 μm)

Each R
consists of 2 times
2 gas volumes
(units)

Each unit delivers
2 coordinates (η , ϕ)



Trigger chambers (RPC) rate
capability $\sim 1 \text{ kHz/cm}^2$



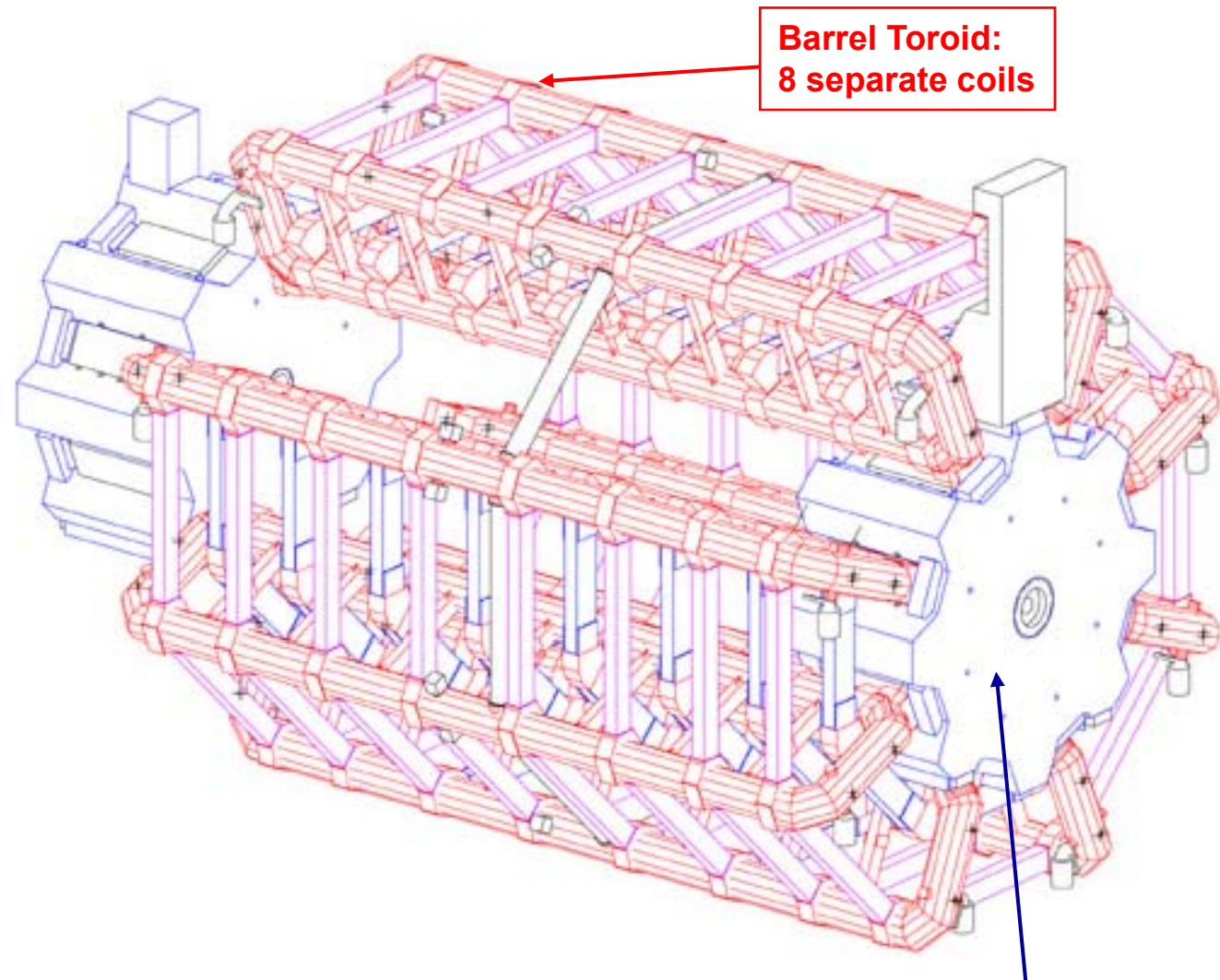
Toroid system

Barrel Toroid parameters

25.3 m length
20.1 m outer diameter
8 coils
1.08 GJ stored energy
370 tons cold mass
830 tons weight
4 T on superconductor
56 km Al/NbTi/Cu conductor
20.5 kA nominal current
4.7 K working point

End-Cap Toroid parameters

5.0 m axial length
10.7 m outer diameter
2x8 coils
2x0.25 GJ stored energy
2x160 tons cold mass
2x240 tons weight
4 T on superconductor
2x13 km Al/NbTi/Cu conductor
20.5 kA nominal current
4.7 K working point

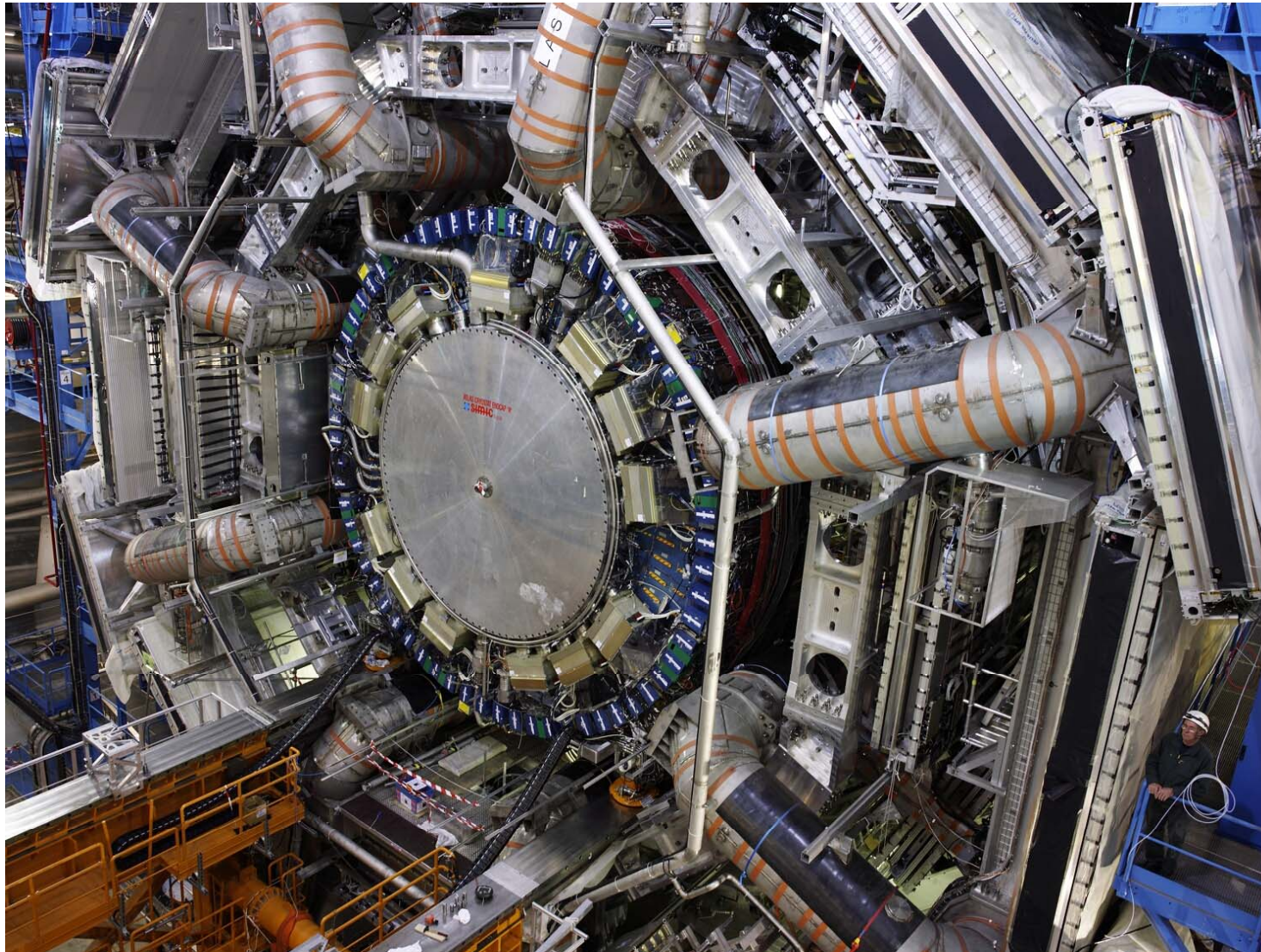


**Barrel Toroid:
8 separate coils**

**End-Cap Toroid:
8 coils in a common cryostat**

Ramp to full field in 3h10'
Slow dump in 2h40'
- Ready since 25aug08

Toroidální magnet: čela sedmi z osmi cívek jsou dobře vidět



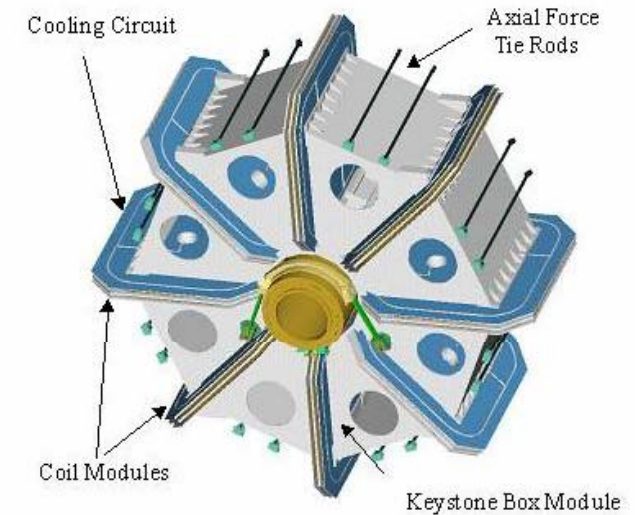
ATLAS side A (with the calorimeter end-cap partially inserted, the LAr end-cap is filled with LAr)

End-Cap Toroids

All components were fabricated in industry, and the assembly done at CERN

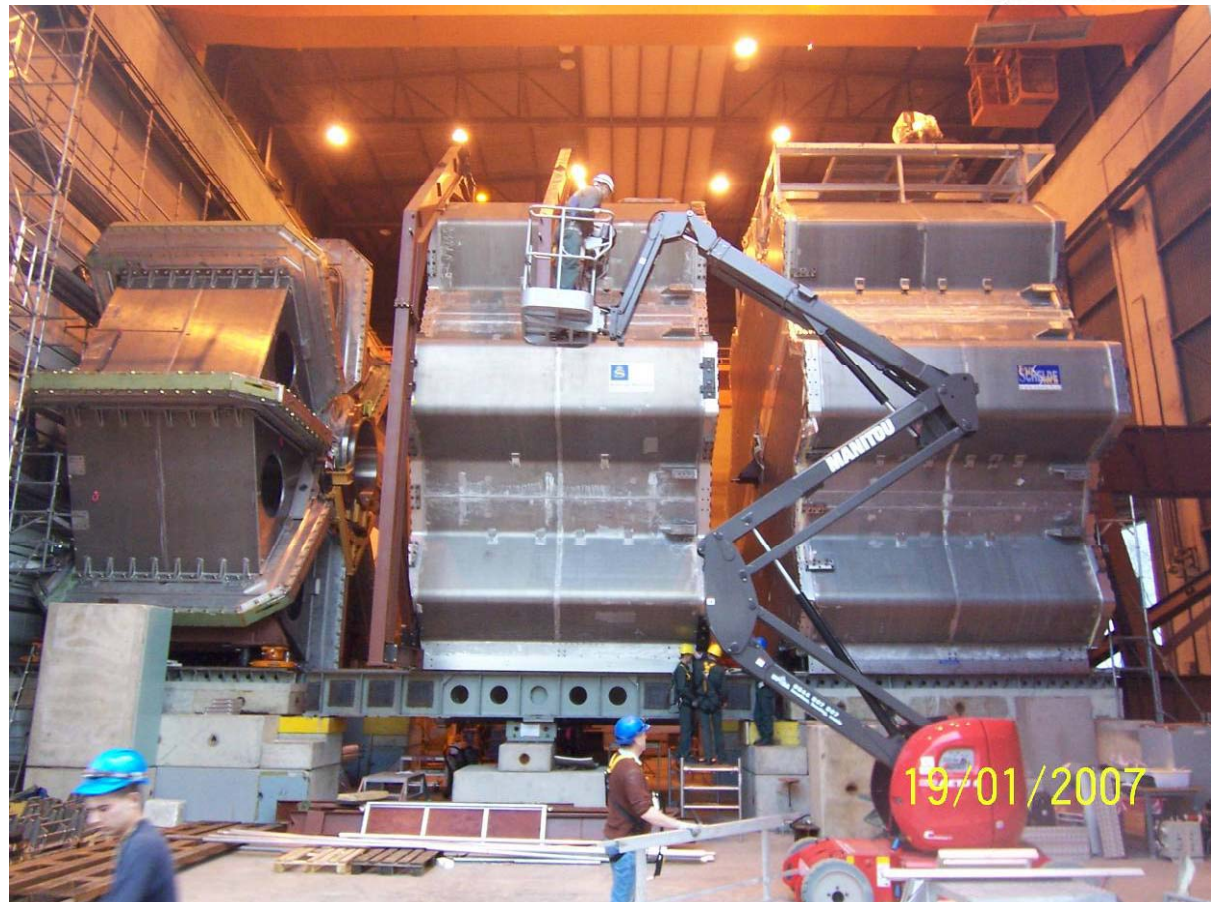
The ECTs are tested at 80 K on the surface, before installation and excitation tests in the cavern

The first ECT will move to the pit in June 2007, the second one in July 2007



Uzavření magnetického pole v podstavách Válce toroidálního magnetu

The picture shows the first of the two ECT cold masses inserted into the vacuum vessel, and the second one assembled as well





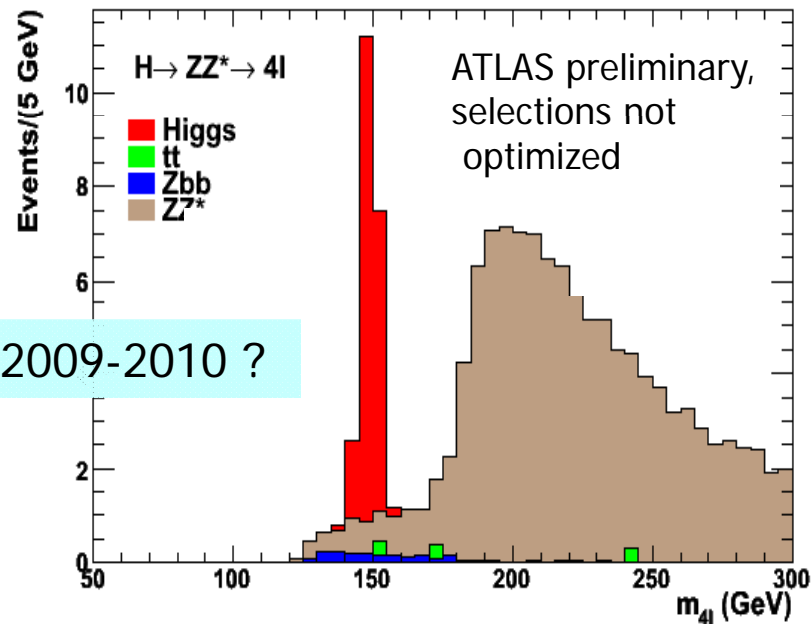
Měření mionů / hmoty Higgse

- Průhyb dráhy mionu ($E \sim 1 \text{ TeV}$) v mg.poli (4T) = pouze 500 μm
+ rekonstrukce hmoty Higgse:
potřebujeme přesnost měření průhybu alespoň 50 μm
- Chybu ovlivňuje:
 - neurčitost při měření souřadnice pomocí MDT
 - Testy s mionovými svazky na povrchu ukázaly dostatečnou přesnost
 - znalost vzájemné polohy komor
 - (laser, zrcadla + CCD = RASNIK systém měří neustále aktuální polohu)
=> chyba 20 μm
 - znalost průběhu magnetického pole, požadavek na odchylky < 1 až 2 mT
 - Hallové sondy měří s přesností 0,5mT z měření se nejdříve určí přesná poloha cívek a pole se dopočítá v celém objemu
 - Procedura vyzkoušena, čeká se na kompletní test magnetů v uzavřeném ATLASu v dubnu

$M_H > 130 \dots$ is easier

$m_H > 130 \text{ GeV} : H \rightarrow ZZ^{(*)} \rightarrow 4l$ (gold-plated), $H \rightarrow WW^{(*)} \rightarrow l\nu l\nu$

$H \rightarrow ZZ^* \rightarrow 4l, 10 \text{ fb}^{-1}$



May be observed with $3\text{-}4 \text{ fb}^{-1}$

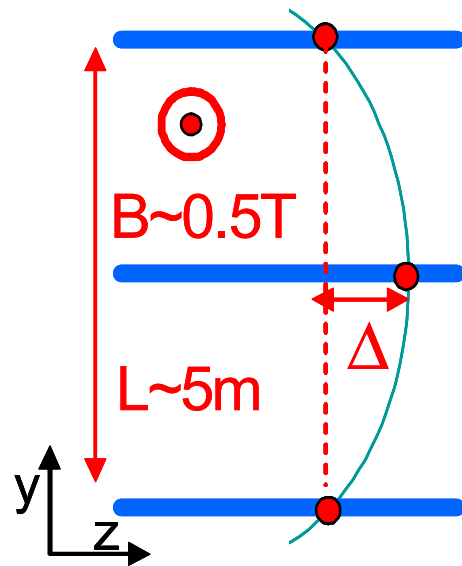
$H \rightarrow 4l$: low-rate but very clean :
narrow mass peak, small background

- requires:
 - ~ 90% e, μ efficiency at low p_T
 - $\sigma/m \sim 1\%$, tails $< 10\%$ \rightarrow good quality of E, p measurements in ECAL and tracker
- background dominated by irreducible ZZ production (tt and Zbb rejected by Z-mass constraint, and lepton isolation and impact parameter)

$\rightarrow WW \rightarrow l\nu l\nu$: high rate (~ 100 evts/expt)
but no mass peak

\rightarrow not ideal for early discovery ...

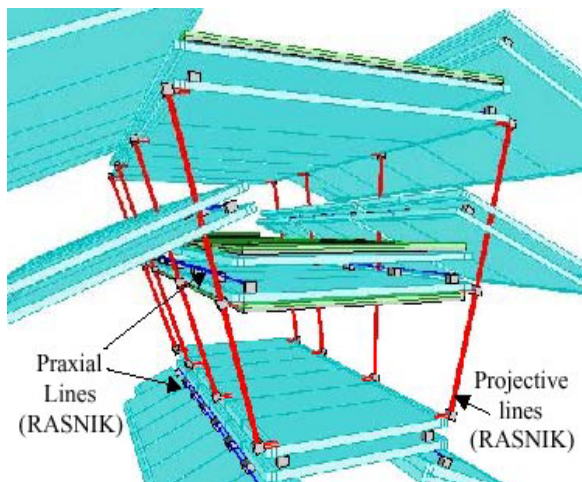
Muon Spectrometer Strategy



$\sigma/p < 10\%$ for $E_\mu \sim \text{TeV}$ needed to observe a possible new resonance $X \rightarrow \mu\mu$ as a "narrow" peak

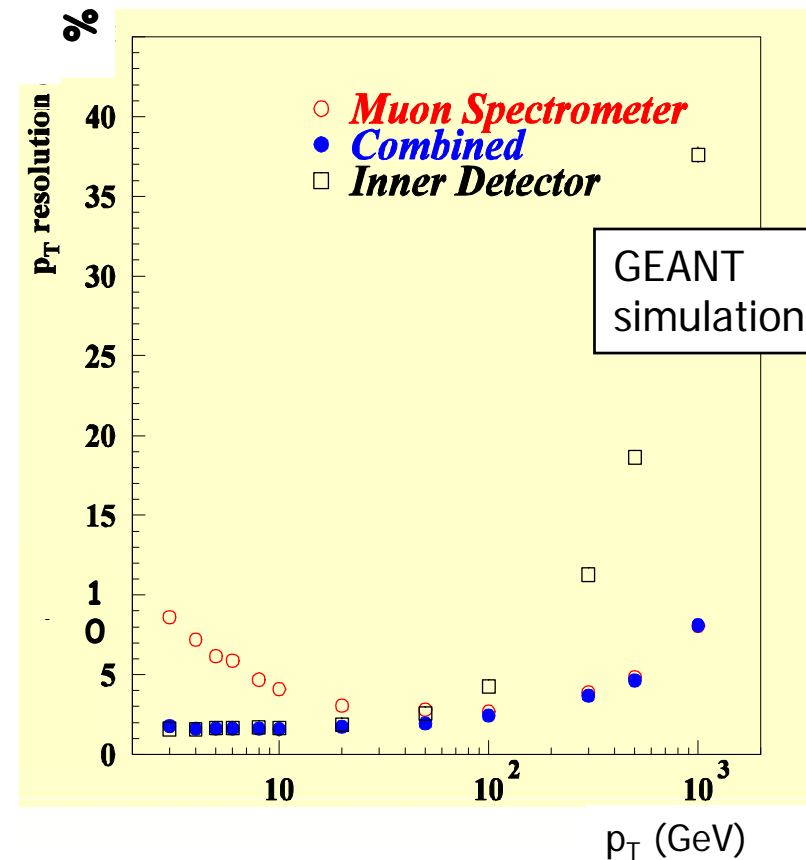
$$E_\mu \sim 1 \text{ TeV} \Rightarrow \Delta \sim 500 \mu\text{m}$$

$$\sigma/p \sim 10\% \Rightarrow \delta\Delta \sim 50 \mu$$



alignment accur:
to $\sim 30 \mu\text{m}$

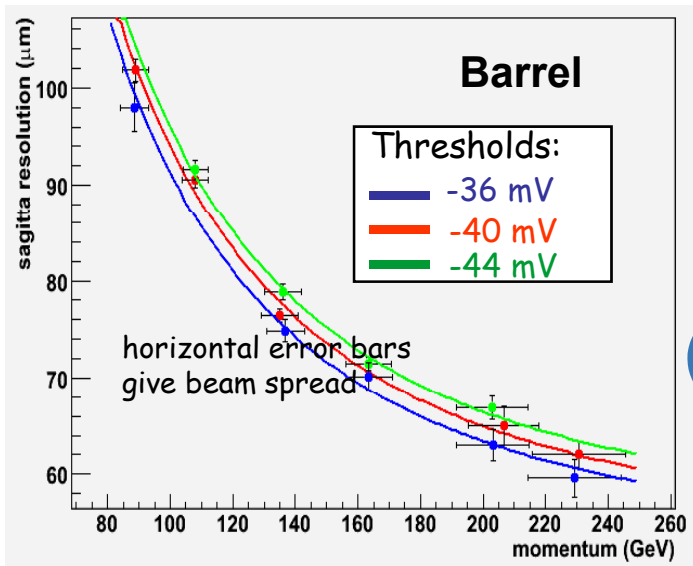
Muon momentum resolution



Can we achieve such a precision ?

1) Showing that we master the intrinsic resolution of the MDT chambers (monitored drift tubes)

Sagitta resolution measured in the 2004 combined test beam



Data fitted with: $\sigma = \sqrt{K_1^2 + (K_2/p)^2}$

- p = muon momentum from beam magnet
- K_1 = intrinsic resolution
- K_2 = multiple scattering

Data

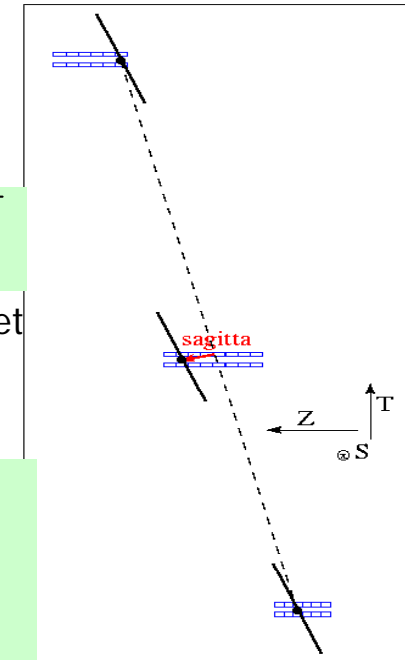
$$K_1 = 50.7 \pm 1.5 \mu\text{m}$$

$$0.29 \pm 0.01 X_0$$

Simulation

$$K_1 = 40 \pm 3 \mu\text{m}$$

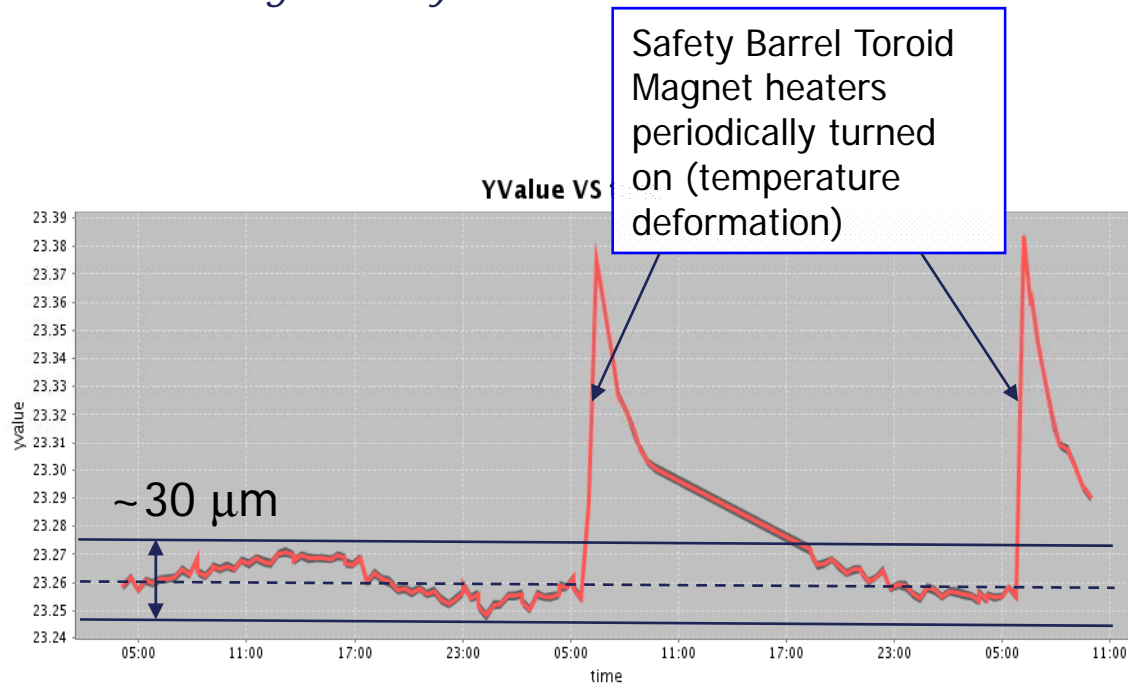
$$0.32 \pm 0.02 X_0$$



All this might sound obvious but it is not: think of wire positioning, tubes mechanical properties, straightness, gravitational sag, gaps between tubes, traceability, mass production in many different locations, ...

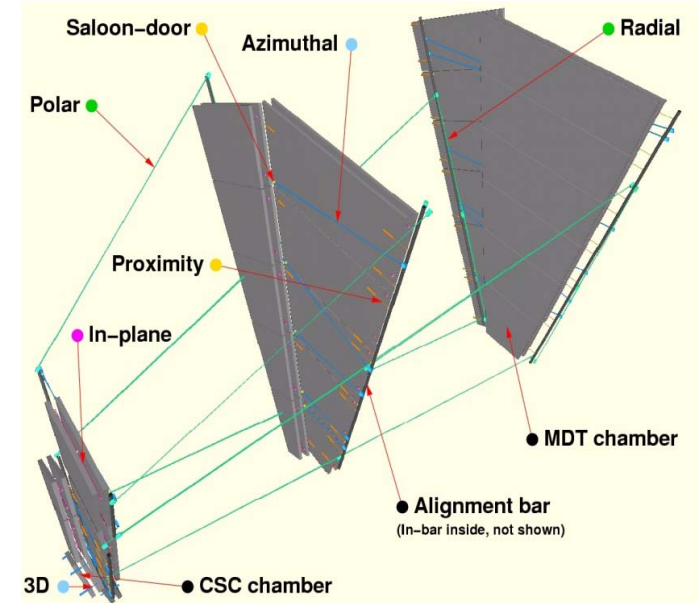
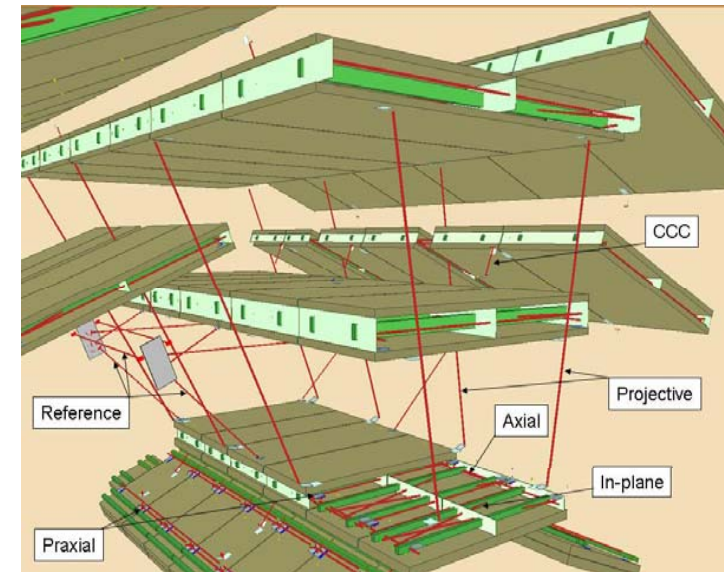
Can we achieve such a precision ?

2) Showing that we know the geometrical position of all chambers in time, using a sophisticated alignment system



Example of one projective line stability

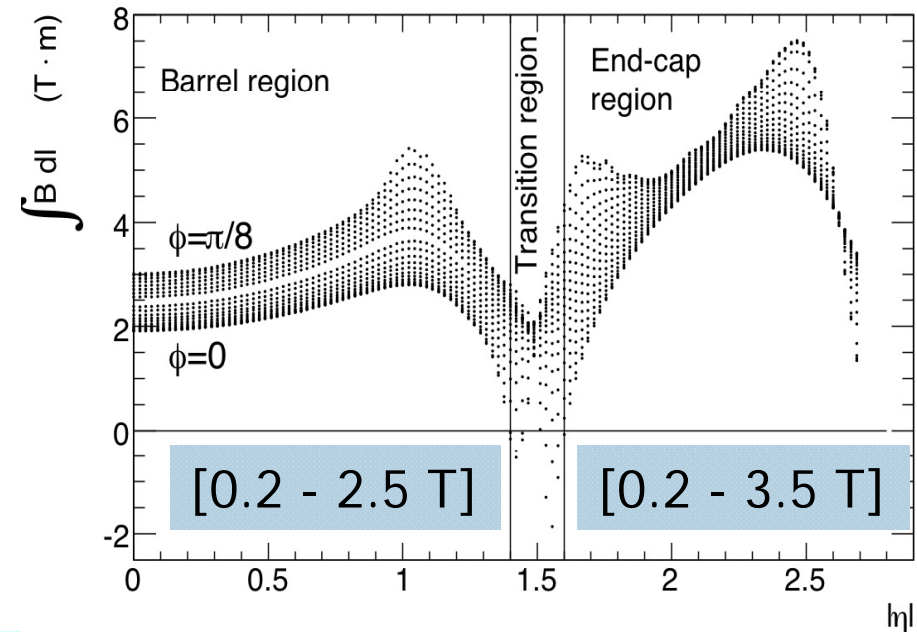
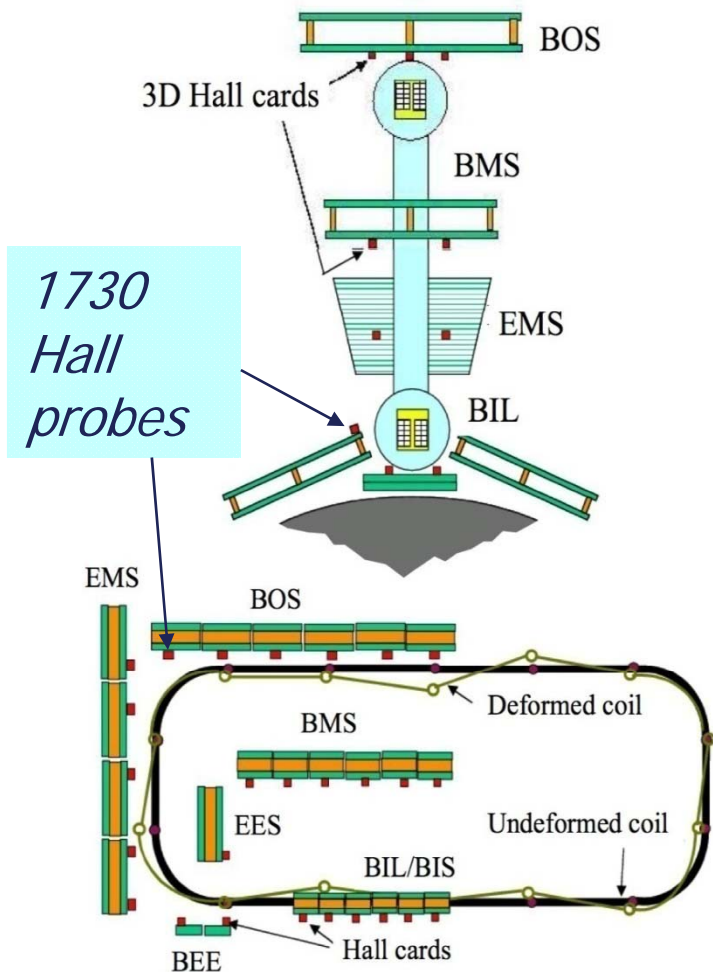
We demonstrated an alignment precision of $\pm 20 \mu\text{m}$ with the test beam setup already



Can we achieve such a precision ?

3) By controlling and knowing the B-field properties of the spectrometer

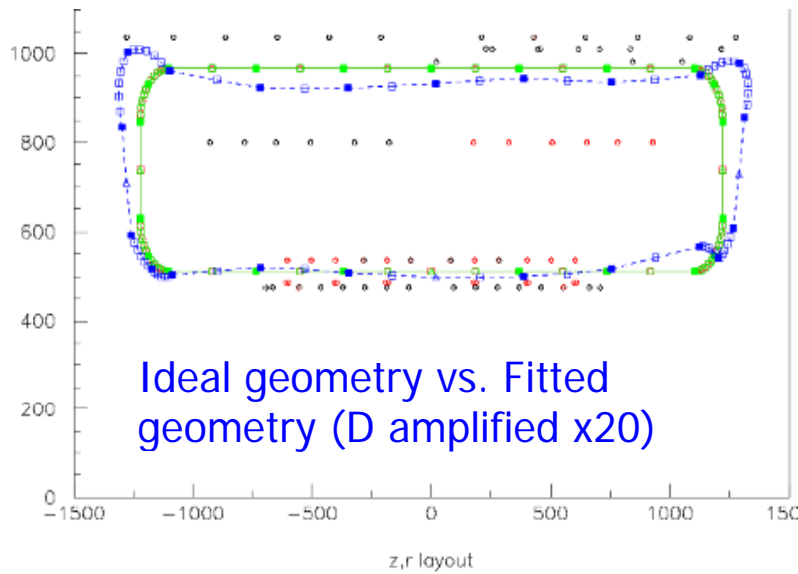
Accuracy goal: $|\Delta B| \sim 1\text{-}2\text{ mT}$



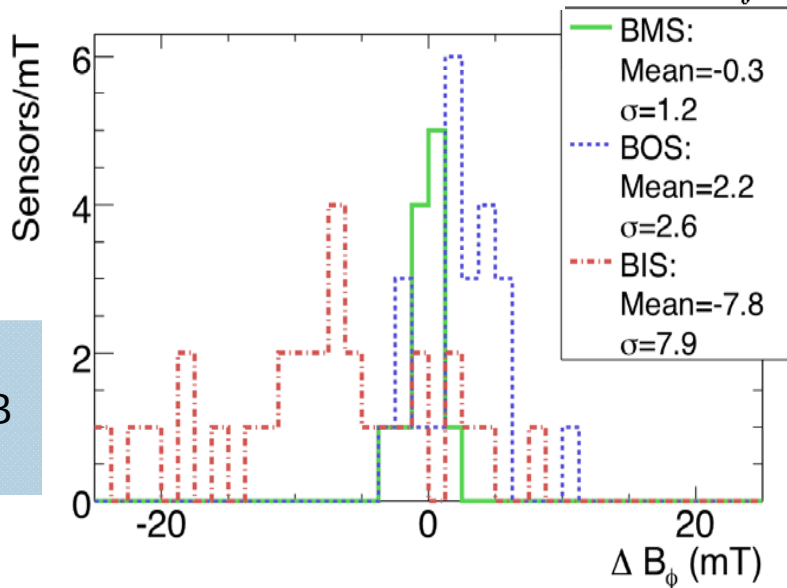
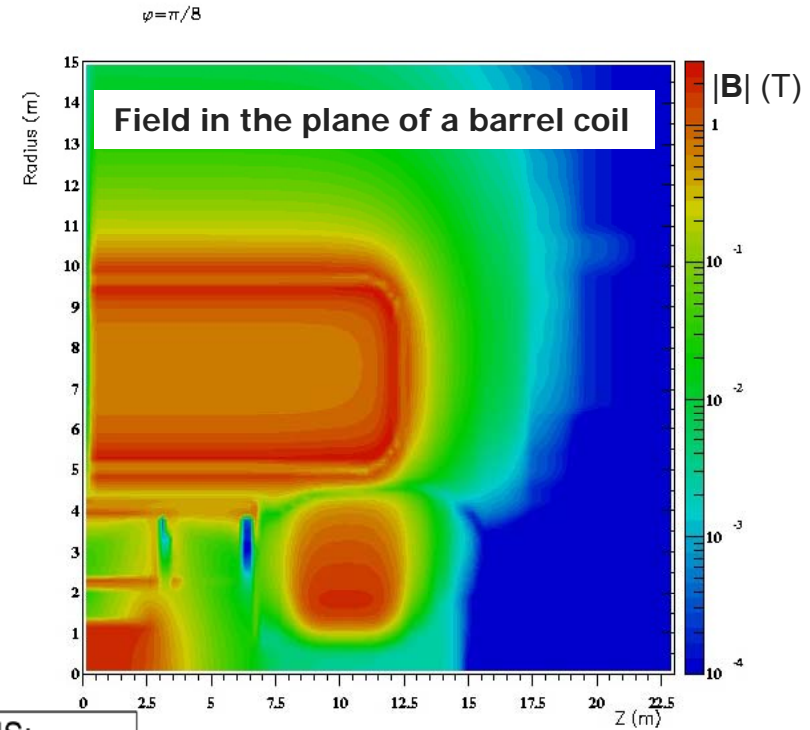
Strategy:

- Measure the B-field vector ($B_{x,y,z}$) to $< 0.5\text{ mT}$ with ~ 1800 sensors (3-D Hall cards) positioned (2mm, 3 mrad) at places where the field gradient is large
- Use the B-sensor readings after correcting for the magnetic pollution predicted for known regions, to fit the position (and shape) of each toroid coil
- Once the geometry is known, compute B numerically everywhere

Can we achieve such a precision ?



Comparison of *ideal* coil geometry, with that *reconstructed* from *B-sensor* data



Field reconstruction residual ΔB_ϕ , in mT, for a middle (green, solid), outer (blue, dashed) and inner (red, dot-dashed) MDT layer.

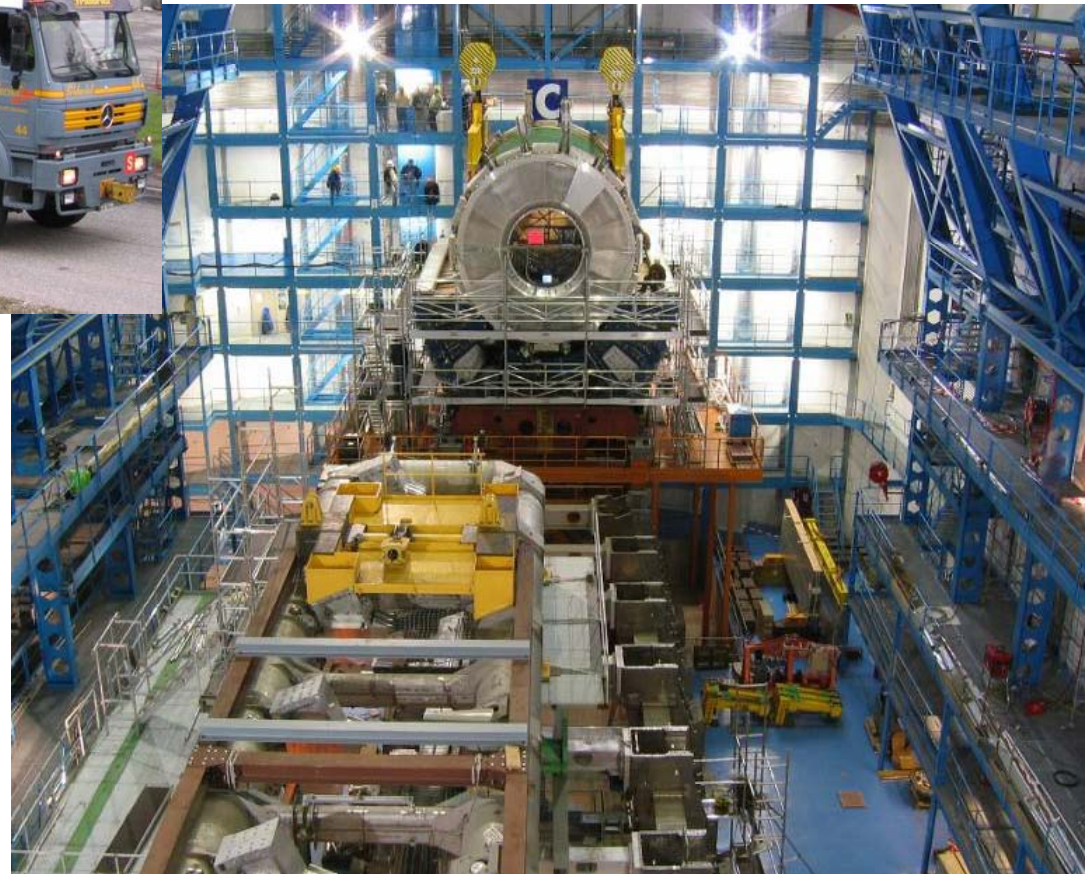
By comparison, the accuracy goal is $\langle \Delta B \rangle = 0$, $\sigma(\Delta B) \sim 1-2 \text{ mT}$

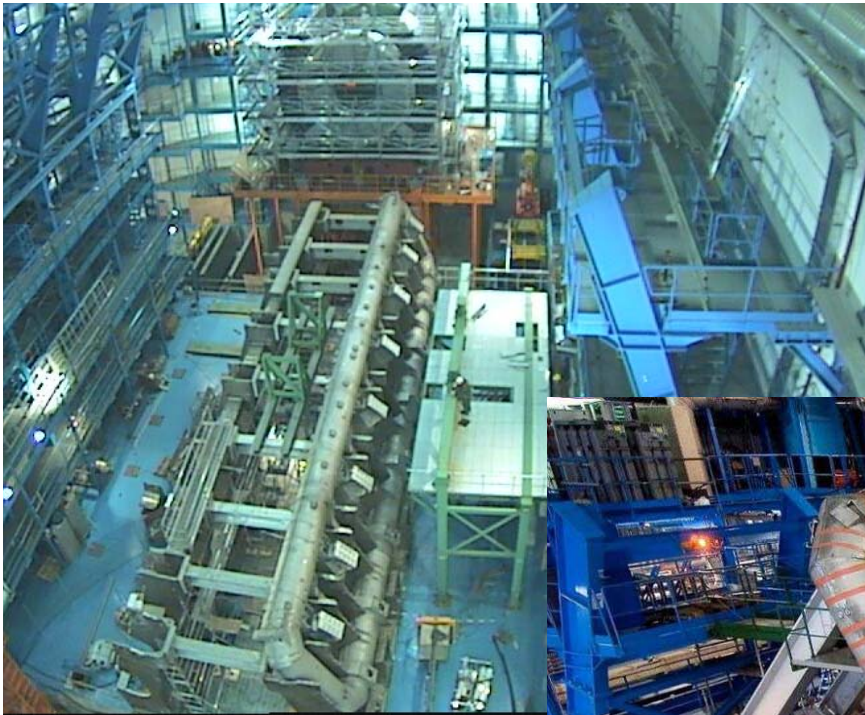
First results now waiting for final B test in 2008

První srážky p-p letos



End of October 2004 the cryostat was transported to the pit, and lowered into the cavern





The first coil was installed in October 2004



The last coil was moved into position on 25th August 2005